UM MÉTODO DE ELEMENTOS FINITOS MISTO PARA EQUAÇÕES ELÍTICAS DE SEGUNDA ORDEM

Este exemplar corresponde a redação final da tese devidamente corrigida e defendida pelo Sr. Dimas Leopoldo Silveira e aprovada pela Comissão Julgadora.

Campinas, 02 de Abril

Profa. Dra. Maria Cristina Cunha Bezerra

Orientador

Dissertação apresentada no Instituto de Matemática, Estatística e Ciência da Computação da Universidade Estadual de Campinas, como requisito par cial para obtenção do título de Mes tre em Matemática Aplicada.

1987

"Se de uma grandeza qualquer subtrairmos uma parte não menor que sua metade e do resto novamente subtrair-se não menos que a metade e se esse processo de subtração é continuado, finalmente restará uma grandeza menor que qualquer grandeza de mesma espécie."

Elementos de Euclides, III, 14.

ÍNDICE

INTRODUÇÃO	i
CAPÍTULO I - CONSIDERAÇÕES SOBRE O MÉTODOS DOS ELEMENTOS	
FINITOS	1
1.0. Introdução	1
1.1. Problema modelo - Formulações primais e duais	3
1.2. Formulação primal-dual	6
1.3. Método Misto	8
CAPÍTULO II - CONSTRUÇÃO DOS ESPAÇOS ELEMENTOS FINITOS	11
CAPÍTULO III - DESCRIÇÃO E ANÁLISE DE UMA TÉCNICA DE IMPLE-	19
CAPÍTULO IV - IMPLEMENTAÇÃO E APLICAÇÃO NUM PROBLEMA DE	
ELETROMAGNETISMO	26
4.1. Descrição de um problema de eletromagnetismo	26
4.2. Estrutura do programa elementos finitos mistos .	30
4.3. Aplicação dos métodos mistos a problemas não li-	
neares	45

CAPÍTULO	Į	7 -	- (COI	IC3	ւՄՏ	SÕI	ES	E	C	IMC	ENT	ΓĀΙ	RIC	ວຣ	•	٠	•	•	c	•	•	Þ	•	•	47
APÊNDICE	•	ь	•	•		ъ.		•	•	e		•	c	ė	e	Ď	c	۰	ŧ	b	¢	۵	•	•	•	52
RTRLTOGRAF	בדי			_	_	_			_	_		_		_		_	_				_					64

AGRADECIMENTOS

À minha orientadora, Profa. Dra. Maria Cristina Cunha Bezerra, pela dedicação, competência e disponibilidade expressas
pela paciência, segurança e estímulo durante o acompanhamento de
todo este trabalho.

Ao meu amigo e psicólogo, Antonio Carlos Silva Costa, pelo constante incentivo, amizade e consideração demonstrados nestes últimos quatro anos.

A Luciano Bezerra Vieira, pela sinceridade e coerência de suas atitudes.

A todos os professores do Departamento de Matemática Aplicada do IMECC-UNICAMP que colaboraram, de alguma forma, para a concretização deste trabalho.

Ao colegas do Mestrado em Matemática Aplicada, pelo aprendizado que a convivência em grupo nos oferece.

Aos professores Gilberto Francisco Loibel, Paulo Ferreira da Silva Porto Júnior e Izette A.C. Loibel, do Instituto de Ciên cias Matemáticas de São Carlos-USP, pelo incentivo demonstrado durante os anos de graduação em Matemática.

Ao Sr. Rodrigo Pereira de Faria e Sra. Maria Armanda Viei ra Anjos Faria, pelo feliz período de convivência em São Carlos, bem como pelo contínuo apoio recebido, meus sinceros agradecimentos.

A Sra. Maria de Lourdes Soares da Silva que, abdicando de seus momentos de folga, pacientemente datilografou com esmero os originais deste trabalho.

Este trabalho foi realizado sob os auspícios da Coordenação de Aperfeiçoamento de Pessoal de Nível Superior (CAPES), Conselho Nacional de Desenvolvimento Científico e Tecnológico (CNPq) e Fundação de Amparo à Pesquisa do Estado de São Paulo (Processo nº 85/3156-0).

Aos meus pais
Eugenio e Thereza;
e às minhas irmãs,
Ana Otília, Maria Mônica e Maria Bernadete.

"E tudo que a análise comum executa por meio de Equações com número finito de Termos, desde que possa ser feito, esse novo método sempre pode executar por meio de Equações Infinitas. Por isso não hesitei em dar a isso o nome de Análise também. Pois os raciocínios aqui não são menos certos que na outra; nem as Equações menos exatas; embora nós Mortais cujos Poderes de raciocínio estão restritos a Limites estreitos, não possamos nem exprimir, nem conceber todos os Termos dessas Equações de modo a saber exatamente delas as Quantidades que queremos..."

Isaac Newton,

De Analysi per aequationes numero

terminorum infinitas, 1669.

NOTAÇÃO

H(div;Ω)	(pāgina					
V(f)	(10	4)			
^т h	(ы	11)			
$w_{\mathbf{h}}$	(18 .	16)			
$pol_k(\xi,\eta)$	(er -	13)			
w _K	(10	16)			
^M h	(16	17)			
P _k (S)	(10	21)			
p _k (s)	(19	21)			
RT ^k (S)	(ti	21)			
$\mathtt{RT}^{\mathbf{k}}_{-1}(\tau_{\mathbf{h}})$	(11	21)			
$M_{-1}^{k}(\tau_{h})$	(19	21)			
$\mathtt{RT}_{\hat{O}}^{k}(\tau_{\mathbf{h}})$	(11	21)			
c_h	(.	17	21)			
$c_{\mathbf{h}}^{\partial}$	(er .	21)			
c _h °	(tî	21)			
$\mathbf{h}_{\mathbf{K}}$	C	er .	21)			
h _e	(11 .	21)			

 $\frac{\eta}{\kappa}$ (pāgina 22)

η_e (" 22)

 $M_{-1}^{k}(C_{h}^{0})$ (22)

INTRODUÇÃO

Equações diferenciais elíticas são modelos matemáticos usa dos em diversos fenômenos físicos como, por exemplo, determinação do potencial eletrostático bem como equações de elasticidade. Em vista desta frequência é muito útil a exploração de métodos de resolução deste tipo de equações diferenciais. Dadas as restrições de fórmulas explícitas para soluções analíticas, ou mesmo a não existência de tais fórmulas, uma alternativa que tem sido considerada das mais eficientes é a utilização de métodos numéricos. Por sua vez, dos métodos numéricos utilizados destacase, por sua eficiência em diversos aspectos, os Métodos dos Elementos Finitos.

O objetivo desta dissertação é descrever, analisar e implementar um Método dos Elementos Finitos Misto, isto é, método em que se calcula simultaneamente aproximações de duas ou mais grandezas interrelacionadas, inerentes a certo sistema físico. Citamos, por exemplo, os problemas descritos por equações diferenciais parciais elíticas nos quais, mais do que a grandeza representada pela incógnita da equação, há interesse em conhecer explicitamente uma ou mais grandezas físicas diretamente associa das à primeira por uma relação matemática, que pode ser do tipo diferencial. Apresentamos no capítulo I alguns conceitos

matemáticos que aparecem no decorrer deste trabalho, bem como um problema modelo. Associados a este problema modelo destacamos as formulações primais, duais e primais-duais (de acordo com a terminologia adotada em [6]), sendo esta última de especial importan cia uma vez que o método misto se baseia nesta formulação. No ca pitulo II mostramos como são construidos os subespaços associados à formulação primal-dual do problema modelo apresentando alguns exemplos e a análise do erro das aproximações. No capítulo III descrevemos e analisamos uma técnica de implementação que se baseia no uso de multiplicadores de Lagrange para impor a continuidade entre os elementos. No capítulo IV implementamos o método misto de acordo com a técnica descrita no capítulo anterior e o aplicamos num problema de eletromagnetismo. Finalmente no capí tulo V tecemos nossos comentários e conclusões sobre a aplicação da citada técnica de implementação dos Métodos dos Elementos Finitos, bem como outras têcnicas apresentadas na literatura especializada.

CAPÍTULO I

CONSIDERAÇÕES SOBRE O MÉTODO DOS ELEMENTOS FINITOS

1.0. INTRODUÇÃO

Apresentamos alguns conceitos matemáticos que são usados nesta dissertação.

Seja
$$\alpha = (\alpha_1, \alpha_2, \dots, \alpha_n) \in \mathbb{N}^n$$
 e $|\alpha| = \sum_{i=1}^n \alpha_i$.

Dado um aberto limitado $\Omega \subseteq \mathbb{R}^n$ com uma fronteira Γ Lipschitz continua, o espaço $\mathcal{D}(\Omega)$ consiste de todas as funções infinita—mente diferenciáveis $\mathbf{v}:\Omega \to \mathbb{R}$ com suporte compacto. Para cada inteiro $\mathbf{m} \geq 0$, o espaço de Sobolev $\mathbf{H}^{\mathbf{m}}(\Omega)$ consiste daquelas funções $\mathbf{v} \in \mathbf{L}^2(\Omega)$ para as quais todas as derivadas δ^α no sentido de distribuição (vide [11]), com $|\alpha| \leq \mathbf{m}$, pertencem ao espaço $\mathbf{L}^2(\Omega)$. Em outras palavras, para cada α com $|\alpha| \leq \mathbf{m}$, existe uma função $\delta^\alpha \mathbf{v} \in \mathbf{L}^2(\Omega)$ satisfazendo

$$\mathbf{v}_{\phi} \in \mathcal{D}(\Omega), \int_{\Omega} \partial^{\alpha} \mathbf{v}_{\phi} dX = (-1)^{|\alpha|} \int_{\Omega} \mathbf{v} \partial^{\alpha} \phi dX.$$

O espaço $H^{\mathbf{m}}(\Omega)$ munido da norma

$$\|\mathbf{v}\|_{\mathbf{m},\Omega} = \left[\sum_{|\alpha| \le \mathbf{m}} \int_{\Omega} |\partial^{\alpha} \mathbf{v}|^{2} d\mathbf{x} \right]^{\frac{1}{2}}$$
(1.1)

é um espaço de Hilbert.

Também faremos uso da semi-norma

$$|\mathbf{v}|_{\mathbf{m},\Omega} = \left[\sum_{|\alpha|=\mathbf{m}} \sum_{\Omega} |\mathfrak{d}^{\alpha}\mathbf{v}|^{2} d\mathbf{x} \right]^{\frac{1}{2}}.$$
 (1.2)

Para $q = (q_1, q_2, \dots, q_n) \in (H^m(\Omega))^n$, consideremos a norma

$$\|\mathbf{g}\|_{\mathbf{m},\Omega} = \begin{bmatrix} \mathbf{n} & \mathbf{1} \\ \mathbf{\Sigma} & \|\mathbf{q}_{\mathbf{i}}\|_{\mathbf{m},\Omega}^{2} \end{bmatrix}^{\frac{1}{2}}$$
(1.3)

e a semi-norma

$$|g|_{\mathbf{m},\Omega} = \begin{bmatrix} n & 2 \\ \Sigma & |q_1|_{\mathbf{m},\Omega} \end{bmatrix}^{\frac{1}{2}}$$
 (1.4)

O espaço $H_0^1(\Omega)$ é caracterizado (vide [1]) como segue:

$$H_0^1(\Omega) = \{ v \in H^1(\Omega) ; v = 0 \text{ em } \Gamma \} .$$
 (1.5)

Além disso,

$$\frac{1}{H^{2}}(\Gamma) = \{v|_{\Gamma} ; v \in H^{1}(\Omega)\}. \tag{1.6}$$

1.1. PROBLEMA MODELO - FORMULAÇÕES PRIMAIS E DUAIS

Salvo menção em contrário, todo estudo feito nessa dissertação refere-se ao problema modelo:

onde f é uma função de $L^2(\Omega)$.

O problema primal consiste em encontrar uma função $u \in V = H^1_O(\Omega)$ tal que

$$J(\mathbf{u}) = \inf_{\mathbf{v} \in \mathbf{V}} J(\mathbf{v})$$

$$\text{com}$$

$$J(\mathbf{v}) = \frac{1}{2} \int_{\Omega} \|\nabla \mathbf{v}\|^2 d\mathbf{x} - \int_{\Omega} f \mathbf{v} d\mathbf{x}$$

$$(1.8)$$

ou equivalentemente tal que

$$\forall \mathbf{v} \in \mathbf{V} , \quad \int_{\Omega} \nabla \mathbf{u} \nabla \mathbf{v} \, d\mathbf{x} = \int_{\Omega} \mathbf{f} \mathbf{v} d\mathbf{x} . \tag{1.9}$$

Embora o problema modelo (1.7) represente vários fenômenos físicos, como por exemplo a distribuição de temperatura numa barra e o problema da membrana elástica, denominaremos a solução u do problema primal (1.8) de "deslocamento" e as componentes de Vu de "tensões". Para a determinação das "tensões" através de um problema de minimização, introduzimos o espaço

$$H(\operatorname{div};\Omega) = \{q \in (L^{2}(\Omega))^{n} ; \operatorname{div} q \in L^{2}(\Omega)\}, \qquad (1.10)$$

que é um espaço de Hilbert quando munido da norma

$$\|\underline{\mathbf{g}}\|_{\mathbf{H}(\operatorname{div};\Omega)} = [\|\underline{\mathbf{g}}\|_{0,\Omega}^{2} + \|\operatorname{div}\underline{\mathbf{g}}\|_{0,\Omega}^{2}]^{\frac{1}{2}}. \tag{1.11}$$

Para $f \in L^2(\Omega)$, definimos o hiperplano afim

$$V(f) = \{q \in H(div;\Omega) ; div q + f = 0 \text{ em } \Omega\}.$$
 (1.12)

Usando a V(0) -eliticidade da forma bilinear

$$(\underline{p},\underline{q}) \rightarrow \int_{\Omega} \underline{p} \cdot \underline{q} \, dx \quad , \qquad (1.13)$$

prova-se que existe uma única função $\mathbf{p} \in \mathbf{V}(\mathbf{f})$ tal que

$$I(\underline{p}) = \inf_{\underline{q} \in V(f)} I(\underline{q})$$

$$com$$

$$I(\underline{q}) = \frac{1}{2} \int_{\Omega} ||\underline{q}||^2 dx$$

$$(1.14)$$

ou equivalentemente tal que

$$\forall \underline{q} \in \underline{V}(0) , \int_{\Omega} \underline{p} \cdot \underline{q} \, dx = 0 . \qquad (1.15)$$

Mostra-se [6] que $p = \nabla u$ onde u é solução do problema primal (1.8). Logo construímos um problema dual adequado. O funcional I(q) ê denominado "funcional energia complementar" e o método dual, método de equilíbrio.

Dizemos que o "princípio da energia complementar" consiste em encontrar $p = \nabla u$ que minimiza o funcional I(q) sobre o hiperplano afim (1.12).

O uso do princípio da energia complementar para constru — ção de discretizações elementos finitos de problemas elíticos foi introduzido por Fraejis de Veubeke (vide [9]).

O metodo de equilibrio consiste na construção inicial de uma subvariedade de dimensão finita $v_h(f) \in v(f)$ e em encontrar $v_h \in v_h(f)$ que minimiza o funcional energia complementar $v_h(f)$ sobre $v_h(f)$.

Para problemas elíticos de segunda ordem, a análise numérica do método de equilíbrio foi feita por J. M. Thomas (vide [24], [25]).

1.2. FORMULAÇÃO PRIMAL-DUAL

O metodo de equilíbrio consiste inicialmente na constru — ção de uma subvariedade de dimensão finita $V_h(f) \subseteq V(f)$. Entretanto, a construção de $V_h(f)$ não é um problema simples uma vez que isto requer a busca de soluções explícitas da equação de equilíbrio

$$div q + f = 0$$
 (1.16)

em todo o dom ${f I}$ nio Ω .

Para contornar esta dificuldade pode-se usar um princípio variacional mais geral que é conhecido na teoria da elasticidade como "princípio de Hellinger-Reissner", no qual a restrição (1.16) é removida com a introdução de um multiplicador de Lagrange. A seguir analisamos um método dos elementos finitos baseado neste princípio variacional.

Inicialmente queremos encontrar um espaço M de multiplica dores de Lagrange e uma função Lagrangiana $\mathcal{L}: H(\operatorname{div};\Omega) \times M \longrightarrow \mathbb{R}$ de tal modo que a incôgnita p seja obtida como o primeiro argumento do ponto sela (p,λ) da Lagrangiana sobre o espaço $H(\operatorname{div};\Omega) \times M$.

Analisando a definição de V(f) (1.12), temos que V(f) está associado ao espaço das funções $g \in H(div;\Omega)$ para as quais

$$\int_{\Omega} \mu(\operatorname{div} \, \mathbf{g} + \mathbf{f}) \, d\mathbf{x} = 0 \quad , \quad \forall \mu \in L^{2}(\Omega) \quad . \tag{1.17}$$

Definindo $M = L^2(\Omega)$ e

$$\mathcal{L}(\underline{g},\mu) = I(\underline{g}) + \int_{\Omega} \mu (\operatorname{div} \underline{g} + f) dx , \qquad (1.18)$$

enunciamos o teorema:

TEOREMA (vide [19]). Seja $f \in L^2(\Omega)$.

Então o par (p,λ) é o único ponto sela do funcional $\mathcal{L}(q,\mu)$ sobre o espaço $H(\text{div};\Omega) \times L^2(\Omega)$, isto é, (p,λ) satisfaz

$$\begin{cases} q \in H(\operatorname{div};\Omega) , & \forall \mu \in L^{2}(\Omega) \\ \\ \ell(p,\mu) \leq \ell(p,\lambda) \leq \ell(q,\lambda) \end{cases}$$
 (1.19)

Além disso temos que $p = \nabla u$ e $\lambda = u$ (1.20) onde u é a solução do problema modelo (1.7).

Logo u é o multiplicador de Lagrange associado à restrição (1.16) e o princípio enunciado acima é denominado "princípio Hellinger-Reissner" em elasticidade.

Como $(p,u) \in H(div;\Omega) \times L^2(\Omega)$ é um ponto estacionário da Lagrangiana $L(q,\mu)$, verifica-se que (p,u) pode ser caracterizado

como solução das seguintes equações:

$$\forall g \in H(\operatorname{div};\Omega)$$
 , $\int_{\Omega} \tilde{p} \cdot \tilde{g} \, dx + \int_{\Omega} u \operatorname{div} \tilde{g} \, dx = 0$, (1.21)

$$\forall \mu \in L^{2}(\Omega) , \int_{\Omega} \mu (\operatorname{div} \, \underline{p} + f) \, dx = 0 . \qquad (1.22)$$

Observa-se que as equações variacionais acima expressam as condições necessária e suficiente para que as derivadas parciais da função Lagrangiana se anulem no ponto sela. Além disto, chamamos esta formulação de "primal-dual" e o correspondente problema variacional de "problema primal-dual". As idéias subjacentes às considerações acima encontram-se na Teoria de Dualidade. Para uma análise mais detalhada desta teoria citamos [8] e para aplicação da teoria da dualidade em problemas de elasticidade, ve rificar [10], [26] e [16].

1.3. MÉTODO MISTO

Podemos definir um método misto baseado na formulação primal-dual do problema modelo como segue:

Dados os espaços de dimensão finita $W_h \subseteq H(\text{div};\Omega)$ e $M_h \subseteq L^2(\Omega)$, encontrar um par $(\underline{p}_h, u_h) \in W_h \times M_h$ tal que

$$\begin{cases} \forall g_h \in W_h, & \int_{\Omega} p_h g_h dx + \int_{\Omega} u_h \operatorname{div} g_h dx = 0 \end{cases}$$

$$\forall \mu_h \in M_h, & \int_{\Omega} \mu_h (\operatorname{div} p_h + f) dx = 0. \qquad (1.23)$$

O problema (1.23) não possui, de modo geral, uma única solução. Para enunciarmos um teorema de existência e unicidade para o problema discretizado (1.23) definîmos:

i) Condição de compatibilidade entre os espaços ${ t W}_{
m h}$ e ${ t M}_{
m h}$

Se
$$g_h \in W_h$$
 e $W_h \in M_h$, $\int_{\Omega} \mu_h div \ g_h dx = 0$ então $div \ g_h = 0$ (1.24)

ii) Condição de Brezzi

Existe $\alpha > 0$ tal que

$$\forall \mu_{h} \in M_{h}, \sup_{\substack{g_{h} \in W_{h}}} \frac{\int_{\Omega} \mu_{h} \operatorname{div} g_{h} dx}{\|g_{h}\|_{H(\operatorname{div};\Omega)}} \geq \alpha \|\mu_{h}\|_{0,\Omega}$$
(1.25)

Enunciamos o teorema:

TEOREMA (vide [19]). Se as condições (1.24) e (1.25) se verificam então o problema discretizado (1.23) tem uma única solução $(\underline{p}_h,\underline{u}_h)\in \mathtt{W}_h\times \mathtt{M}_h$ e existe uma constante $\mathtt{C}=\mathtt{C}(\alpha)>0$ tal que

$$\|\mathbf{p}-\mathbf{p}_{h}\|_{\mathbf{H}(\operatorname{div};\Omega)} + \|\mathbf{u}-\mathbf{u}_{h}\|_{0,\Omega} \leq C \left[\inf_{\mathbf{q}_{h}\in\mathbb{W}_{h}}\|\mathbf{p}-\mathbf{q}_{h}\|_{\mathbf{H}(\operatorname{div};\Omega)} + \inf_{\mathbf{v}_{h}\in\mathbb{M}_{h}}\|\mathbf{u}-\mathbf{v}_{h}\|_{0,\Omega}\right]. \tag{1.26}$$

A próxima etapa consiste na construção dos espaços W_h e M_h que satisfaçam as condições (1.24)-(1.25) e possuam boas propriedades de aproximação. É o que faremos no próximo capítulo.

•

CAPÍTULO II

CONSTRUÇÃO DOS ESPAÇOS ELEMENTOS FINITOS

Sejam $\overline{\Omega}$ um polígono limitado do \mathbb{R}^2 e τ_h uma triangularização (vide [6]) de $\overline{\Omega}$ composta de triângulos K cujos diâmetros (vide [6]) são menores ou iguais a h. Consideremos inicialmente a construção $W_h \subseteq H(\text{div};\Omega)$.

Dado um triângulo $K \in \tau_h$, denotamos por η_K o vetor normal exterior ao longo da fronteira ∂K de K. Seja $\mathbf{v} \in (L^2(\Omega))^2$ uma função suficientemente suave em cada triângulo $K \in \tau_h$. Consideremos a fórmula de Green:

$$\forall \omega \in H^{1}(\Omega) , \int_{\Omega} \left[\nabla \omega \cdot \mathbf{g} + \omega \operatorname{div} \mathbf{g} \right] d\mathbf{x} = \int_{\Gamma} \omega \mathbf{g} \cdot \mathbf{\eta} d\gamma$$
 (2.1)

onde a integral \int_{Γ} denota o par de dualidade entre os espaços $-\frac{1}{2}$ (Γ) (vide [6]) e $H^{2}(\Gamma)$ (vide (1.6)).

Usando a fórmula de Green (2.1) em cada $K \in \tau_h$, prova-se que $v \in H(\text{div};\Omega)$ se e somente se é válida a seguinte relação de reciprocidade para um par (K_1,K_2) de triângulos adjacentes:

$$\underline{v}$$
 $\begin{bmatrix} \underline{v} \\ K_1 \end{bmatrix}$ $\begin{bmatrix} \underline{v} \\ K_2 \end{bmatrix}$

onde
$$v$$
 denota a restrição de v a K_i , $i = 1, 2$. (2.2)

Portanto, suponhamos que os elementos de W_h são suficientemente suaves em cada $K \in \tau_h$ e além disso satisfaçam a relação de reciprocidade (2.2).

Para cada triângulo $K \subseteq \tau_h$ construiremos um espaço W_K de funções vetoriais y suficientemente suaves tais que:

(ii) div
$$v$$
 é um polinômio de grau $\leq k$;

(ii) a restrição de $v \cdot n$ em cada aresta de K é um po

 K

linômio de grau menor ou igual a k . (2.3)

A construção do espaço W_K pode ser feita em duas etapas. Na primeira etapa introduz-se o espaço \hat{W} associado ao triângulo padrão \hat{K} no plano (ξ,η) cujos vértices são $\hat{a}_1=(1,0), \ \hat{a}_2=(0,1)$ e $\hat{a}_3=(0,0)$, e $\eta_{\hat{K}}=\hat{\eta}$. Consideremos os exemplos (video [19]).

EXEMPLO 1. Seja k \geq 0 um inteiro par. Definimos $\hat{\mathbb{W}}$ como sendo o espaço das funções $\hat{\mathbb{Y}}$ satisfazendo

$$\begin{cases} \hat{\mathbf{v}}_{1} = \mathrm{pol}_{\mathbf{k}}(\xi, \eta) + \alpha_{0} \xi^{k+1} + \alpha_{1} \xi^{k} \eta + \dots + \alpha_{k/2} \xi^{k/2+1} \eta^{k/2} \\ \hat{\mathbf{v}}_{2} = \mathrm{pol}_{\mathbf{k}}(\xi, \eta) + \beta_{0} \eta^{k+1} + \beta_{1} \eta^{k} \xi + \dots + \beta_{k/2} \eta^{k/2+1} \xi^{k/2} \end{cases}$$
(2.4)

$$com \sum_{i=0}^{k/2} (-1)^{i} (\alpha_{i} - \beta_{i}) = 0.$$

$$(2.5)$$

Na expressão (2.4), $\operatorname{pol}_{k}(\xi,\eta)$ denota um polinômio de grau k nas variáveis ξ,η .

EXEMPLO 2. Seja k \geq 1 um inteiro impar. Definimos \hat{w} como o es paço das funções \hat{v} satisfazendo

$$\begin{cases}
\hat{\mathbf{v}}_{1} = \text{pol}_{\mathbf{k}}(\xi, \eta) + \alpha_{0} \xi^{k+1} + \alpha_{1} \xi^{k} \eta + \dots + \alpha_{(k+1)/2} \xi^{(k+1)/2} \eta^{(k+1)/2} \\
\hat{\mathbf{v}}_{2} = \text{pol}_{\mathbf{k}}(\xi, \eta) + \beta_{0} \eta^{k+1} + \beta_{1} \eta^{k} + \dots + \beta_{(k+1)/2} \eta^{(k+1)/2} \xi^{(k+1)/2}
\end{cases} (2.6)$$

Os exemplos apresentados acima satisfazem as condições i) e ii) de (2.3).

Os graus de liberdade de uma função $\hat{\dot{\mathbf{y}}} \in \hat{\mathbf{W}}$ podem ser

Os graus de liberdade de \hat{v} são os valores de $\hat{v}\cdot\hat{\eta}$ em dois pontos distintos de cada lado de \hat{K} e o momento de ordem zero de \hat{v} (vide (2.8)).

Na segunda etapa considera-se um triângulo K no plano (x_1,x_2) cujos vértices são denotados por a_i , $1 \le i \le 3$. Logo existe uma única aplicação afim inversível

$$F: \hat{x} = (\xi, \eta) \rightarrow x = F(\hat{x}) = B\hat{x} + b, B \in \mathcal{L}(\mathbb{R}^2), b \in \mathbb{R}^2,$$
 (2.11)

tal que $a_i = F(\hat{a}_i)$, $1 \le i \le 3$. Seja J o determinante Jacobiano de F. A uma função escalar $\hat{\varphi}$ definida em \hat{K} associamos a função φ definida em K por

$$\varphi = \hat{\varphi} \circ F^{-1} \qquad (\hat{\varphi} = \varphi \circ F) . \tag{2.12}$$

Por outro lado, a cada função vetorial $\hat{v} = (\hat{v}_1, \hat{v}_2)$, definida em \hat{K} , associamos a função \hat{v} definida em K por

$$y = (\frac{1}{J} B\hat{v}) \circ F^{-1} \qquad (\hat{v} = (JB^{-1}v) \circ F) .$$
 (2.13)

A escolha da transformação contravariante (2.13) está baseada no seguinte resultado:

LEMA (vide [19]). Para qualquer função vetorial $\hat{ ilde{ ilde{v}}}$ (por exemplo

 $\hat{\mathbf{y}} \in (\mathbf{H}^1(\hat{\mathbf{K}}))^2)$ temos:

$$\forall \hat{\varphi} \in L^{2}(\hat{K})$$
, $\int_{K} \hat{\varphi} \operatorname{div} \hat{v} d\hat{x} = \int_{K} \varphi \operatorname{div} v dx$,

$$\forall \, \hat{\varphi} \, \in \, _{L}{}^{2} \, (\, \vartheta \hat{K}) \ , \quad \int_{\, \vartheta \hat{K}} \, \hat{\hat{\varphi}} \, \, \, \hat{\hat{v}} \cdot \hat{\hat{\eta}} \, \, \, d\hat{s} \, = \, \int_{\, \vartheta K} \, \varphi \, \, \, _{\tilde{v}} \cdot \hat{\eta}_{K} \, \, ds \ .$$

Assim a transformação (2.13) preserva num certo sentido o divergente e a componente normal de funções vetoriais. Portanto, ao triângulo K associamos o espaço

$$W_{K} = \{ \underbrace{v} \in H(\operatorname{div}; K) : \widehat{v} \in \widehat{W} \}. \tag{2.14}$$

Pelo lema acima, o espaço $W_{\rm k}$ satisfaz (2.3). Finalmente definimos

$$\mathbf{W}_{h} = \{ \mathbf{y}_{h} \in \mathbf{H}(\mathbf{div}; \Omega) : \forall \mathbf{K} \in \mathbf{\tau}_{h}, \mathbf{y}_{h} |_{\mathbf{K}} \in \mathbf{W}_{k} \}. \tag{2.15}$$

Como foi observado anteriormente, uma função $v_h \in W_h$ deve satisfazer a relação de reciprocidade (2.2). Portanto, os graus de liberdade de uma função $v_h \in W_h$ são determinados por:

- a) os valores de $v_h \cdot n_K$ em (k+1) pontos distintos de cada aresta dos elementos de τ_h ;
 - b) os momentos de ordem \leq (k-1) de v_h sobre cada $K \in \tau_h$.

Como para cada $v_h \in W_h$ e cada $K \in \tau_h$, div $v_h \in W_h$ é um polinômio de grau $\leq k$, uma escolha natural para o espaço M_h é

$$M_{h} = \{u_{h} \in L^{2}(\Omega) ; \forall K \in \tau_{h}, u_{h} | K \in P_{k} \},$$
 (2.16)

onde P_k denota o espaço dos polinômios de grau $\leq k$ nas variãveis x_1 e x_2 . Ressaltamos que uma função $u_h \in \tau_h$ não satisfaz qualquer restrição de continuidade nas fronteiras comuns dos elementos de τ_h .

Os espaços $W_h \subseteq H(\operatorname{div};\Omega)$ e $M_h \subseteq L_2(\Omega)$ apresentados neste capītulo são denominados espaços Raviart-Thomas, uma vez que tais espaços foram descritos inicialmente em [19].

Mostra-se que os espaços W_h e M_h verificam a condição (1.24). Para mostrar que os espaços W_h e M verificam a condição de Brezzi (1.25), vide [19]: Lema 4, Lema 5 e Teorema 4.

Enunciamos o principal resultado sobre o erro na aproximação pelo método misto:

TEOREMA (vide [18]). Consideremos os espaços $W_{\mathbf{h}}$ e $M_{\mathbf{h}}$ definidos em (2.15) e (2.16) respectivamente.

Suponhamos que existe um ângulo $\boldsymbol{\theta}_{_{\mbox{\scriptsize O}}}$ independe do parâmetro h tal que

$$\theta_{K} \geq \theta_{O}$$
 , $K \in \tau_{h}$, (2.17)

onde θ_{K} é o menor ângulo do triângulo K.

Além disso, suponhamos que a solução u do problema modelo (1.7) é suficientemente suave ($u \in H^{k+2}(\Omega)$ com $\Delta u \in H^{k+1}(\Omega)$). Então o problema aproximado (1.23) tem uma única solução (p_h, u_h) $\in W_h^{\times}$ · M_h e existe uma constante C > 0 independente de h tal que

$$\| \mathbf{p} - \mathbf{p}_h \|_{H(\operatorname{div};\Omega)} + \| \mathbf{u} - \mathbf{u}_h \|_{0,\Omega} \le c h^{k+1}$$
 (2.18)

No próximo capítulo apresentaremos e analisaremos uma técnica de implementação de um método misto que se baseia no uso de multiplicadores de Lagrange para impor a continuidade entre os elementos.

CAPÍTULO III

DESCRIÇÃO E ANÁLISE DE UMA TÉCNICA DE IMPLEMENTAÇÃO

Na discretização de problemas elípticos pelo método misto (1.23) obtemos um sistema da forma

$$\begin{cases} A\sigma + Bu = f_1 \\ B^T\sigma = f_2 \end{cases}$$
 (3.1)

onde σ é o campo de "tensões" e u o "deslocamento" nos termos da Elasticidade. A escolha de um método numérico para resolver (3.1) é restrita ao fato que frequentemente o sistema (3.1) é indefinido. Entretanto, para alguns métodos mistos amplamente usados este problema é contornado por uma técnica de implementação pela qual obtemos um sistema positivo definido (vide [9]). Esta técnica consiste em eliminar restrições na continuidade dos espaços elementos finitos e introduzir multiplicadores de Lagrange definidos nas arestas interiores dos elementos. Denotando por $\overline{\lambda}$ os multiplicadores de Lagrange, o sistema resultante apresentará a sequinte forma:

$$\begin{cases} \widetilde{\mathbf{A}} \, \overline{\sigma} + \widetilde{\mathbf{B}} \, \overline{\mathbf{u}} + \mathbf{C} \, \overline{\lambda} = \mathbf{f}_{1} \\ \widetilde{\mathbf{B}}^{\mathbf{T}} \, \overline{\sigma} = \mathbf{f}_{2} \\ c^{\mathbf{T}} \, \overline{\sigma} = 0 \end{cases}$$
 (3.2)

A vantagem do sistema (3.2) é que a matriz correspondente ao operador à é diagonal por blocos e portanto facilmente inversível a nível de cada elemento. Logo, da primeira equação de (3.2), temos

$$\overline{\sigma} = \widetilde{A}^{-1} (f_1 - \widetilde{Bu} - C\overline{\lambda})$$
 (3.3)

que aproxima o campo de tensões em função das outras variáveis. Substituindo-se (3.3) na segunda e terceira equações de (3.2), obtemos o seguinte sistema linear

$$\begin{cases}
\widetilde{\mathbf{B}}^{\mathrm{T}} \ \widetilde{\mathbf{A}}^{-1} \ \widetilde{\mathbf{B}}\overline{\mathbf{u}} + \widetilde{\mathbf{B}}^{\mathrm{T}} \ \widetilde{\mathbf{A}}^{-1} c\overline{\lambda} = \widetilde{\mathbf{B}}^{\mathrm{T}} \ \widetilde{\mathbf{A}}^{-1} \mathbf{f}_{1} - \mathbf{f}_{2} \\
c^{\mathrm{T}} \ \widetilde{\mathbf{A}}^{-1} \ \widetilde{\mathbf{B}}\overline{\mathbf{u}} + c^{\mathrm{T}} \ \widetilde{\mathbf{A}}^{-1} c\overline{\lambda} = c^{\mathrm{T}} \ \widetilde{\mathbf{A}}^{-1} \mathbf{f}_{1}
\end{cases}$$
(3.4)

que é um sistema linear simétrico e positivo definido. Portanto, podemos resolver (3.4) e recuperar o campo de tensões de (3.3) simplesmente através de um "post-process" elemento a elemento.

Consideremos o problema modelo (1.7).

Para introduzir multiplicadores de Lagrange nas arestas interiores dos elementos de uma triangularização $\tau_{\rm h}$ de Ω , com esta triangularização apresentando as mesmas características des critas no capítulo anterior, utilizaremos as seguintes notações:

Logo,

$$RT_0^k(\tau_h) = RT_{-1}^k \cap H(div;\Omega) = W_h$$
 (vide 2.15).

Sejam C_h os lados dos triângulos de τ_h , c_h^{δ} = $\{e \in c_h | e \in \delta\Omega\}$ e $c_h^{O} = c_h - c_h^{\delta}$, isto é, c_h^{O} é o conjunto das arestas interio — res dos elementos de τ_h .

Para $K \in \tau_h$, $e \in C_h$, denotamos por h_K e h_e os respectivos diâmetros (vide [6]).

Seja n_K o vetor normal unitário exterior a K e n_e um dos vetores unitários normais a e.

O espaço dos multiplicadores de Lagrange que usaremos é denotado $\text{por } \text{M}_{-1}^k(\text{C}_h^o) \text{ e é formado pelas funções definidas em } \text{C}_h \text{ que são polinômios de grau } \leq k \text{ em cada } \text{e} \in \text{C}_h^o \text{ e que se anulam em } \text{C}_h^\delta.$

Mostra-se (vide [1]) que $\tau \in RT^k(K)$ então $\tau \cdot \eta \in P_k(e)$.

Enunciamos o seguinte resultado:

LEMA. (vide [1]). Se $\underline{\tau} \in RT_{-1}^{k}(\tau_{h})$, então $\underline{\tau} \in RT_{0}^{k}(\tau_{h})$ se e somente se

$$\sum_{K \in \tau_h} \int_{\partial K} \underline{\tau} \cdot \underline{n}_K \ \mu de = 0 , \quad \forall \mu \in M_{-1}^k(C_h^o) . \tag{3.5}$$

O Lema acima quer dizer que podemos caracterizar o espaço $RT_O^k(\tau_h)$ como sendo o espaço das funções $\underline{\tau} \in RT_{-1}^k(\tau_h)$ satisfazendo (3.5) Portanto, temos a seguinte formulação para o método misto (vide [1]):

Encontrar $(\bar{\sigma}_h, \bar{u}_h, \lambda_h) \in RT_{-1}^k(\tau_h) \times M_{-1}^k(\tau_h) \times M_{-1}^k(C_h^o)$ tal que

$$\text{(a)} \int_{\Omega} \overline{\underline{\sigma}}_h \cdot \underline{\tau} \ d\underline{x} - \underset{K}{\Sigma} \left\{ \int_{K} \overline{\underline{u}}_h \ d\underline{i} v \ \underline{\tau} d\underline{x} - \int_{\partial K} \lambda_h \ \underline{\tau} \cdot \underline{\eta}_K \ d\underline{e} \right\} = 0 \text{, } \forall \underline{\tau} \in \mathtt{RT}^k_{-1}(\tau_h);$$

(b)
$$\sum_{K} \int_{K} v \operatorname{div} \overline{g}_{h} dx = \int_{\Omega} f v dx$$
, $\forall v \in M_{-1}^{k}(\tau_{h})$;

(c)
$$\sum_{K} \int_{\partial K} \mu \, \overline{\sigma}_{h} \cdot \underline{\eta}_{K} \, de = 0$$
 , $\forall \mu \in M_{-1}^{k}(C_{h}^{o})$. (3.6)

TEOREMA (vide [1]). O problema (3.6) tem uma única solução $(\overline{\sigma}_h, \overline{u}_h, \lambda_h)$, com $\overline{\sigma}_h = \underline{\sigma}_h$ e $\overline{u}_h = \underline{u}_h$, sendo $(\underline{\sigma}_h, \underline{u}_h)$ a única solução de (1.23).

Observa-se que o problema (3.6) apresenta a forma (3.2), sendo a matriz \tilde{A} , correspondente a

$$\int_{\Omega} \overline{\sigma}_{h} \cdot \tau \ dx ,$$

diagonal por blocos.

Verifica-se que a matriz do sistema (3.4) é simétrica e além dis so temos o seguinte resultado:

TEOREMA. A matriz do sistema (3.4) é positiva definida.

DEMONSTRAÇÃO. Seja [u λ] $^T \in {\rm I\!R}^{m+n}$ um vetor não nulo tal que m é o número de elementos de τ_h e n é o número de arestas interiores de τ_h . Temos:

$$\left\{ \begin{bmatrix} \tilde{\mathbf{E}}^{\mathbf{T}} \tilde{\mathbf{A}}^{-1} \tilde{\mathbf{B}} & \tilde{\mathbf{B}}^{\mathbf{T}} \tilde{\mathbf{A}}^{-1} \mathbf{C} \\ \mathbf{C}^{\mathbf{T}} \tilde{\mathbf{A}}^{-1} \tilde{\mathbf{B}} & \mathbf{C}^{\mathbf{T}} \tilde{\mathbf{A}}^{-1} \mathbf{C} \end{bmatrix} \begin{bmatrix} \mathbf{u} \\ \mathbf{\lambda} \end{bmatrix}, \begin{bmatrix} \mathbf{u} \\ \mathbf{\lambda} \end{bmatrix} \right\} =$$

$$\left\langle \begin{bmatrix} \tilde{\mathbf{B}}^{\mathbf{T}} \tilde{\mathbf{A}}^{-1} \tilde{\mathbf{B}} \mathbf{u} + \tilde{\mathbf{B}}^{\mathbf{T}} \tilde{\mathbf{A}}^{-1} & \mathbf{C} \lambda \\ \mathbf{c}^{\mathbf{T}} \tilde{\mathbf{A}}^{-1} \tilde{\mathbf{B}} \mathbf{u} + \mathbf{c}^{\mathbf{T}} \tilde{\mathbf{A}}^{-1} & \mathbf{C} \lambda \end{bmatrix}, \begin{bmatrix} \mathbf{u} \\ \lambda \end{bmatrix} \right\rangle =$$

$$=\langle \tilde{\mathbf{B}}^{\mathrm{T}}\tilde{\mathbf{A}}^{-1}\tilde{\mathbf{B}}\mathbf{u},\mathbf{u}\rangle + \langle \tilde{\mathbf{B}}^{\mathrm{T}}\tilde{\mathbf{A}}^{-1}\mathbf{C}\lambda,\mathbf{u}\rangle + \langle \mathbf{C}^{\mathrm{T}}\tilde{\mathbf{A}}^{-1}\tilde{\mathbf{B}}\mathbf{u},\lambda\rangle + \langle \mathbf{C}^{\mathrm{T}}\tilde{\mathbf{A}}^{-1}\mathbf{C}\lambda,\lambda\rangle =$$

$$=\langle \tilde{\mathbf{A}}^{-1}\tilde{\mathbf{B}}\mathbf{u}, \tilde{\mathbf{B}}\mathbf{u} \rangle + \langle \tilde{\mathbf{A}}^{-1}\mathbf{C}\lambda, \tilde{\mathbf{B}}\mathbf{u} \rangle + \langle \mathbf{A}^{-1}\tilde{\mathbf{B}}\mathbf{u}, \mathbf{C}\lambda \rangle + \langle \tilde{\mathbf{A}}^{-1}\mathbf{C}\lambda, \mathbf{C}\lambda \rangle =$$

=
$$\langle \widetilde{A}^{1/2} \widetilde{B} u, \widetilde{A}^{1/2} \widetilde{B} u \rangle + 2 \langle \widetilde{A}^{1/2} C \lambda, \widetilde{A}^{1/2} \widetilde{B} u \rangle + \langle \widetilde{A}^{1/2} C \lambda, \widetilde{A}^{1/2} C \lambda \rangle =$$

$$= \langle \tilde{A}^{-\frac{1}{2}} \tilde{B}u + \tilde{A}^{-\frac{1}{2}} C\lambda , \quad \tilde{A}^{-\frac{1}{2}} \tilde{B}u + \tilde{A}^{-\frac{1}{2}} C\lambda \rangle > 0 .$$

Se $\tilde{B}u + C\lambda = 0$ segue que, tomando funções τ convenientes na primeira equação de (3.6), u = 0 e $\lambda = 0$, o que é um absurdo. Logo $\tilde{B}u + C\lambda \neq 0$.

Portanto a matriz do sistema (3.4) é positiva definida.

Convém observar que na demonstração do teorema acima levamos em consideração os seguintes fatos: como a matriz \tilde{A} é positiva definida e simétrica, então sua inversa \tilde{A}^{-1} também é positiva definida e simétrica; mostra-se que existe uma única matriz B positiva definida e simétrica tal que $\tilde{B}^2 = \tilde{A}^{-1}$ e neste caso, dizemos que \tilde{B} é a "raiz quadrada" de \tilde{A}^{-1} denotada por $\tilde{B} = \tilde{A}^{-1/2}$.

CAPÍTULO IV

IMPLEMENTAÇÃO E APLICAÇÃO NUM PROBLEMA DE ELETROMAGNETISMO

4.1. DESCRIÇÃO DE UM PROBLEMA DE ELETROMAGNETISMO

Consideremos o seguinte problema (vide [4]):

Dado um condutor retangular cujos lados medem 2a e 2b,res pectivamente, com centro na origem do plano (x,y), como é visto na figura 1, o potencial A em todos os pontos da região Ω determinada pelo retângulo, satisfaz a equação de Poisson

$$\int \frac{\partial^2 A}{\partial x^2} + \frac{\partial^2 A}{\partial y^2} = -\mu \mu_0 J \quad \text{em} \quad \Omega$$

$$A = 0 \quad \text{em} \quad \partial \Omega$$
(4.1)

sendo J a densidade uniforme de corrente e $\mu\mu_0$ a permeabilidade. Além disso, suponhamos que a permeabilidade do condutor é muito maior que a permeabilidade do meio adjacente.

Dadas as dificuldades de encontrar soluções analíticas

usando série de Fourier, como é usual em problemas desta natureza, ou outras ferramentas matemáticas, uma alternativa é a utilização de métodos numéricos no cálculo de soluções aproximadas. Dentre estes, detacamos o método dos elementos finitos. Ressalta mos, dentre as vantagens deste método, a flexibilidade na geometria do condutor e também sua utilização quando condições de contorno são do tipo Dirichlet (como em (4.1)), Neumann e mistas. Nesta linha empregamos a formulação primal associada a (4.1).

Entretanto, a determinação do campo magnético H é frequentemente mais importante que o potencial A para efeito de aplicações práticas. Como o campo magnético H está relacionado com o potencial A pela relação

$$H = - \nabla A \tag{4.2}$$

a aplicação do método misto nos parece recomendável e, de acordo com a argumentação dos capítulos anteriores, esta técnica apresenta algumas vantagens. Detalhamos a seguir a implementação de um método misto no cálculo de soluções aproximadas para (4.1) e (4.2).

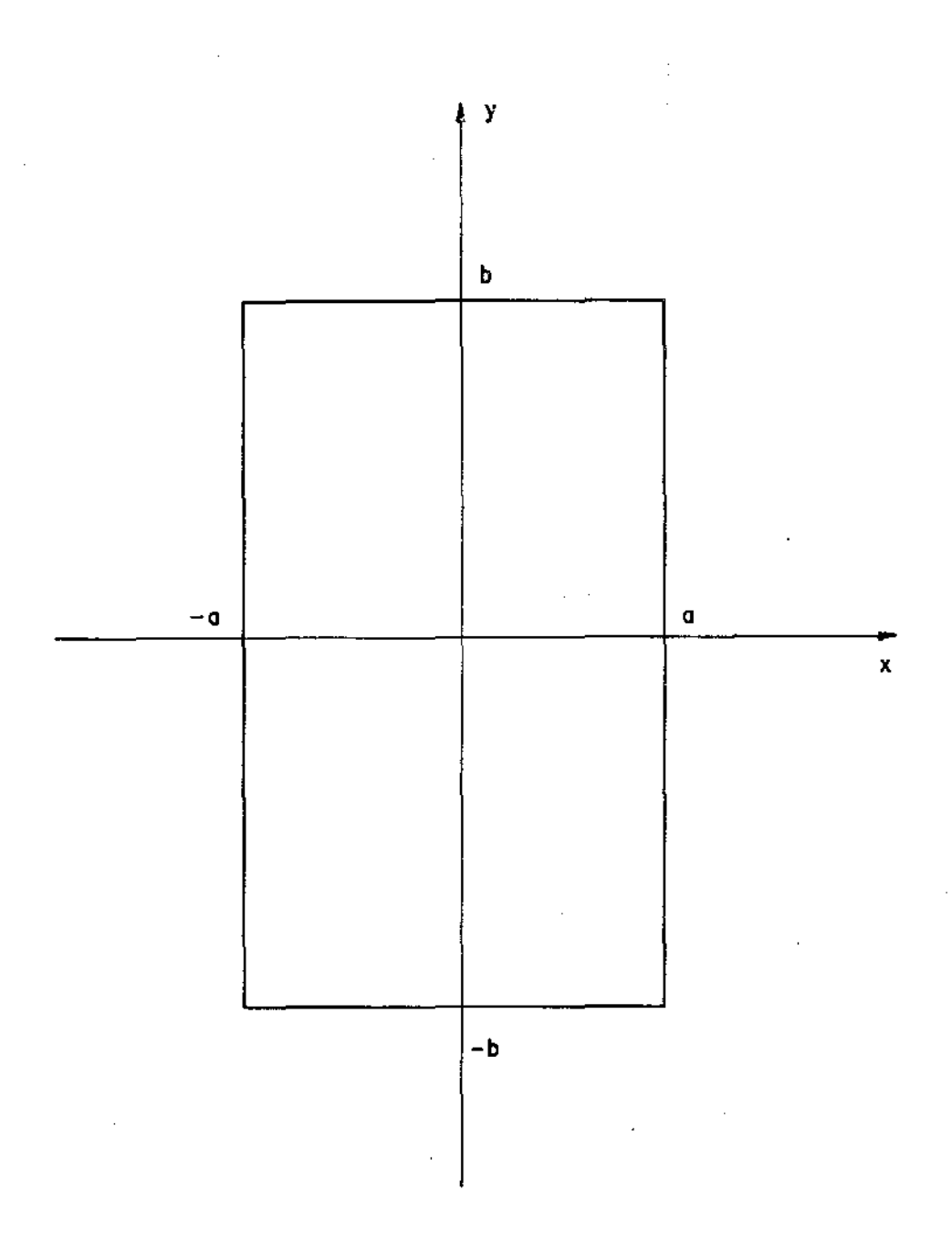


FIGURA 1

Suponhamos, por simplicidade, que o condutor ocupa a região $\Omega' = [0,1] \times [0,1]$ como é visto na figura 2.

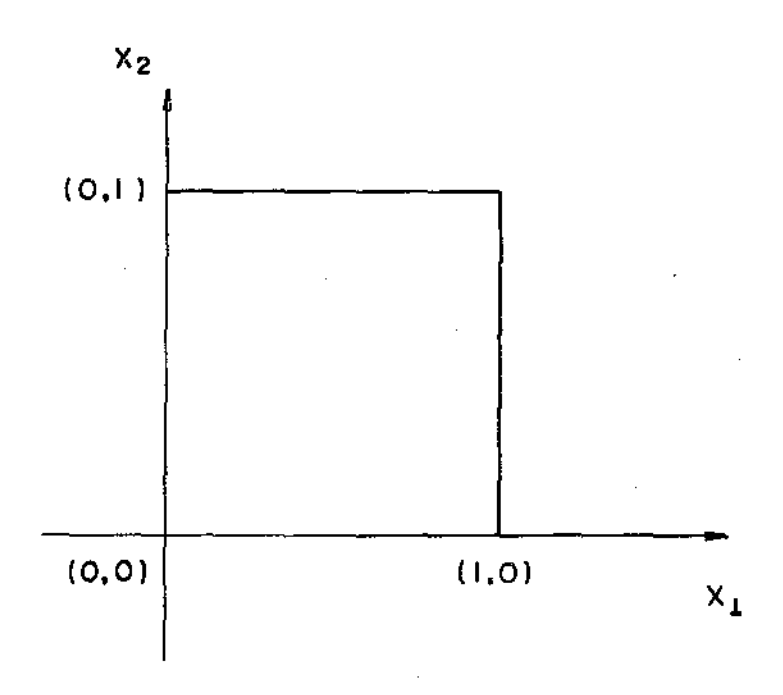


FIGURA 2

De acordo com a formulação (3.6), o sistema a ser resolvido apresenta a forma (3.2). Podemos então considerar a resolução do sistema (3.4). Para isso, na seção "Estrutura do programa elementos finitos", descrevemos como são obtidas as matrizes \tilde{A} , \tilde{B} , C

e como é montado o sistema (3.4). Em seguida, conhecida a solução de (3.4), mostramos como recuperar (3.3).

4.2. ESTRUTURA DO PROGRAMA ELEMENTOS FINITOS MISTOS

Para o programa que apresentamos nesta dissertação adotamos uma estrutura modular, ou seja, as principais operações do método misto são efetuados em subrotinas separadamente. A figura 3 mostra a organização do programa e a ordem de execução das subrotinas. A ordem de chamada das subrotinas é controlada por um programa principal sendo que a função de cada uma delas é descrita no fim desta seção.

Na construção do programa elementos finitos destacamos:

(i) Alguns usuários estarão interessados na utilização do programa como um "pacote", não lhes interessando as diversas etapas da aplicação do método misto. Neste caso a estrutura de entrada e saída de dados constituem elemento importante no processo. Na nossa implementação os dados de entrada são inseridos num arquivo específico e utilizados à medida que o programa principal é executado.

Na bibliografia especializada observamos que em algumas implementações a entrada de dados se dá por uma subrotina específica. Quanto aos dados de saída, estes são armazenados num determinado arquivo à medida que as subrotinas são executadas.

(ii) Como na segunda equação de (3.6) aparece a expressão

$$\int_{\Omega} f v dx ,$$

devemos levar em consideração a eficiência de algoritmos utilizados em integração numérica.

(iii) Deve-se considerar a esparsidade das matrizes que aparecem na implementação do método misto pois isto acarretará numa economia de memória e tempo de processamento.

(iv) O tempo dispendido na solução do sistema de equações (3.4) representa uma grande parcela do tempo total de processamento. Logo, a escolha de um método adequado para a solução de sistemas lineares é de grande importância para a eficiência do programa.

RELAÇÃO DAS VARIÁVEIS E DIMENSÕES.

NELEM número de elementos

KELEM 4X número de elementos

LELEM número de arestas interiores

MELEM número de elementos + número de ares-

tas interiores

AM (NELEM, 4, 4) Matriz do operador A

BM(NELEM, 4, 1) Matriz do operador B

CM(KELEM, LELEM) Matriz do operador C

FM (MELEM)

Vetor força .

AIN (NELEM, 4, 4)

Matriz do operador \tilde{A}^{-1} .

SIST (MELEM, MELEM)

Matriz do sistema (3.4).

XDISP (MELEM)

Vetor solução do sistema (3.4).

RECOV (NELEM, 4, 1)

Matriz solução de (3.3).

CC(3), DD(3)

Coordenadas cartesianas dos vértices

de um elemento.

ID (NELEM, 3)

Matriz que ralaciona as coordenadas

locais e globais das arestas dos ele-

mentos.

IFPRE (MELEM)

Vetor que assinala quando uma variá -

vel do sistema (3.4) é prescrita ou

não.

FIXED (NELEM)

Vetor que armazena o valor de uma va-

riável prescrita dos sistema (3.4).

KL,JL

Variaveis associadas aos elementos da

triangularização.

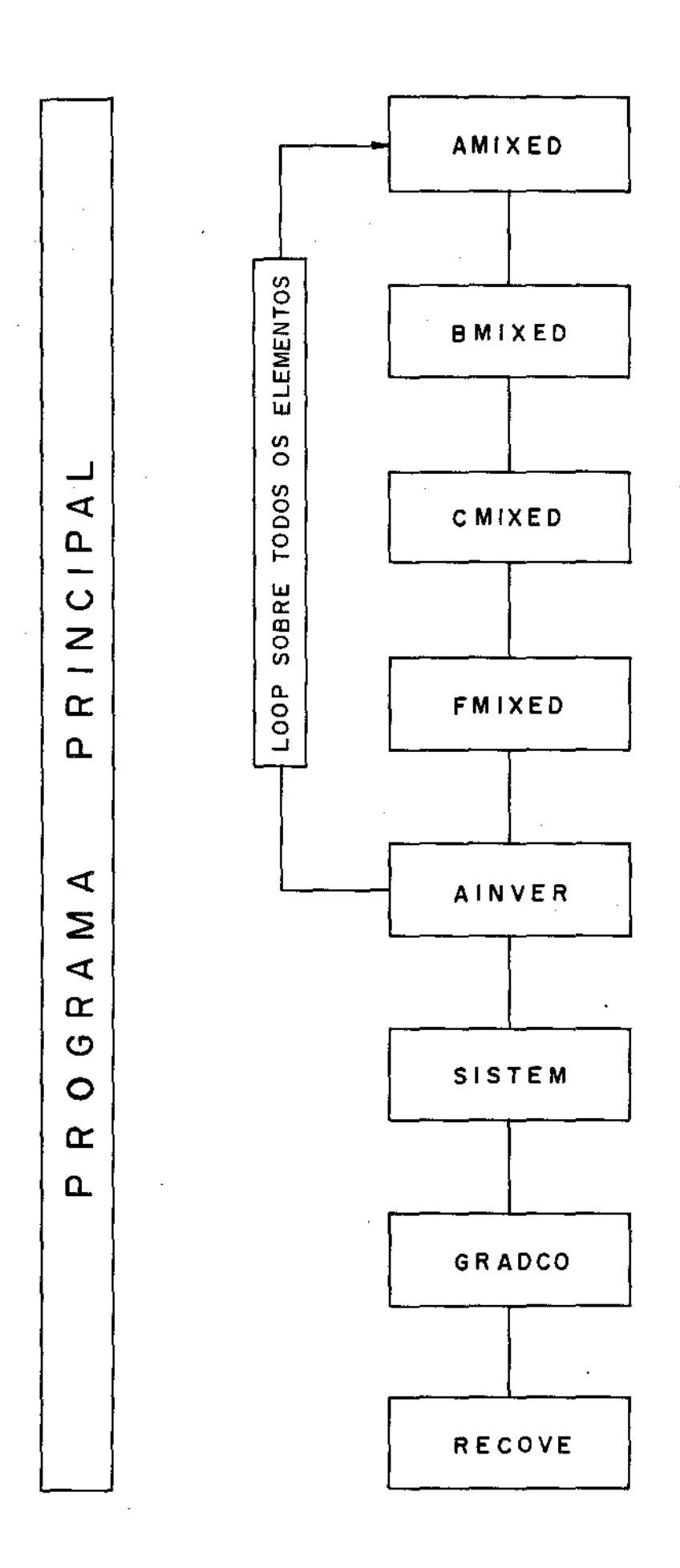


FIGURA 3

ORGANIZAÇÃO DO PROGRAMA

DESCRIÇÃO DAS SUBROTINAS

Subrotina AMIXED

Constrói a matriz AM (NELEM,4,4) que é diagonal por blocos e está associada ao operador \tilde{A} (vide (3.2) e (3.6)a).

Parâmetros: AM, CC, DD, KL, NELEM.

Subrotina BMIXED

Constrói a matriz BM(NELEM, 4, 1) que está associada ao operador \tilde{B} (vide (3.2) e (3.6)a).

Parâmetros: BM, CC, DD, KL, NELEM.

Subrotina CMIXED

Constrói a matriz CM(KELEM, LELEM) que é uma matriz esparsa apresentando uma determinada estrutura de banda e está associada ao operador C (vide (3.2) e (3.6)a).

Parâmetros: CM, CC, DD, ID, NELEM, LELEM, KELEM, JL, ML.

Subrotina FMIXED

Constrói o vetor FM(NELEM) que representa o carregamento das for ças nos elementos (vide (3.6)b).

Parâmetros: FM, CC, DD, KL, NELEM.

Subrotina AINVER

Inverte cada bloco da matriz AM, determinando a matriz AIN(NELEM,4,4) que está associada ao operador \tilde{A}^{-1} . Parâmetros: AM, AIN, KL, NELEM.

Subrotina SISTEM

Constrói a matriz SIST (MELEM, MELEM) associada ao sistema (3.4).

Parâmetros: AIN, BM, CM, SIST, NELEM, LELEM, KELEM, MELEM.

Subrotina GRADCO

Visto que a matriz SIST é simétrica, positiva definida e esparsa utilizamos o Método dos Gradientes Conjugados (vide [13],[15]) para obtenção da solução XM(MELEM) do sistema (3.4). Parâmetros: SIST, FM, XM, IFPRE.

Subrotina RECOVE

Recupera o "campo de tensões" (3.3) construindo a matriz RECOV(NELEM,4,1).

Parametros: AIN, BM, CM, XM.

EXEMPLO:

Para ilustrar como o programa elementos finitos mistos pode ser aplicado para resolver o problema (4.1), suponhamos que

o dominio $\Omega^* = [0,1] \times [0,1]$ seja triangularizado como na figura 4. Em seguida, estabelecemos uma numeração para os elementos (triângulos na figura 4); assim, 6 refere-se ao elemento nº 6 de acordo com a numeração. Feito isso, consideramos uma numeração para as arestas interiores, isto é, aquelas arestas que não estão na fronteira. Por exemplo, o número 6 refere-se à aresta interior nº 6. Logo, para a triangularização da figura 4,

NELEM = 18

LELEM = 21.

Os dados de entrada são inseridos num arquivo específico (FOR20.DAT) e a ordem de entrada dos mesmos é controlada pelo programa principal (MASTER).

Os vértices dos elementos são percorridos no sentido antihorário e suas coordenadas cartesianas denotadas por CC(J) e

DD(J) com J = 1,2,3. Para o elemento 6, temos:

$$CC(1) = 0.333333333$$
 $DD(1) = 1.0$

$$CC(2) = 0.0$$
 $DD(2) = 1.0$

$$CC(3) = 0.0$$
 $DD(3) = 0.6666666$.

O vetor ID(NELEM, 3), que relaciona as coordenadas locais e globais das arestas dos elementos, deve ser tal que as arestas são numerados localmente no sentido anti-horário e às arestas da da fronteira é atribuído o valor 0 (zero). Assim,

$$ID(3,1) = 2$$
 $ID(3,2) = 7$ $ID(3,3) = 3$ $ID(4,1) = 4$ $ID(4,2) = 0$ $ID(4,3) = 3$.

O vetor IFPRE assume os valores 0 ou 1, sendo que os elementos possuindo pelo menos uma aresta na fronteira do domínio são prescritos e seus valores armazenados em FIXED, como é mostrado abaixo:

Apresentamos listagens dos arquivos FOR20.DAT (dados de entrada) e FOR21.DAT (dados de saída) para o exemplo que estamos considerando.

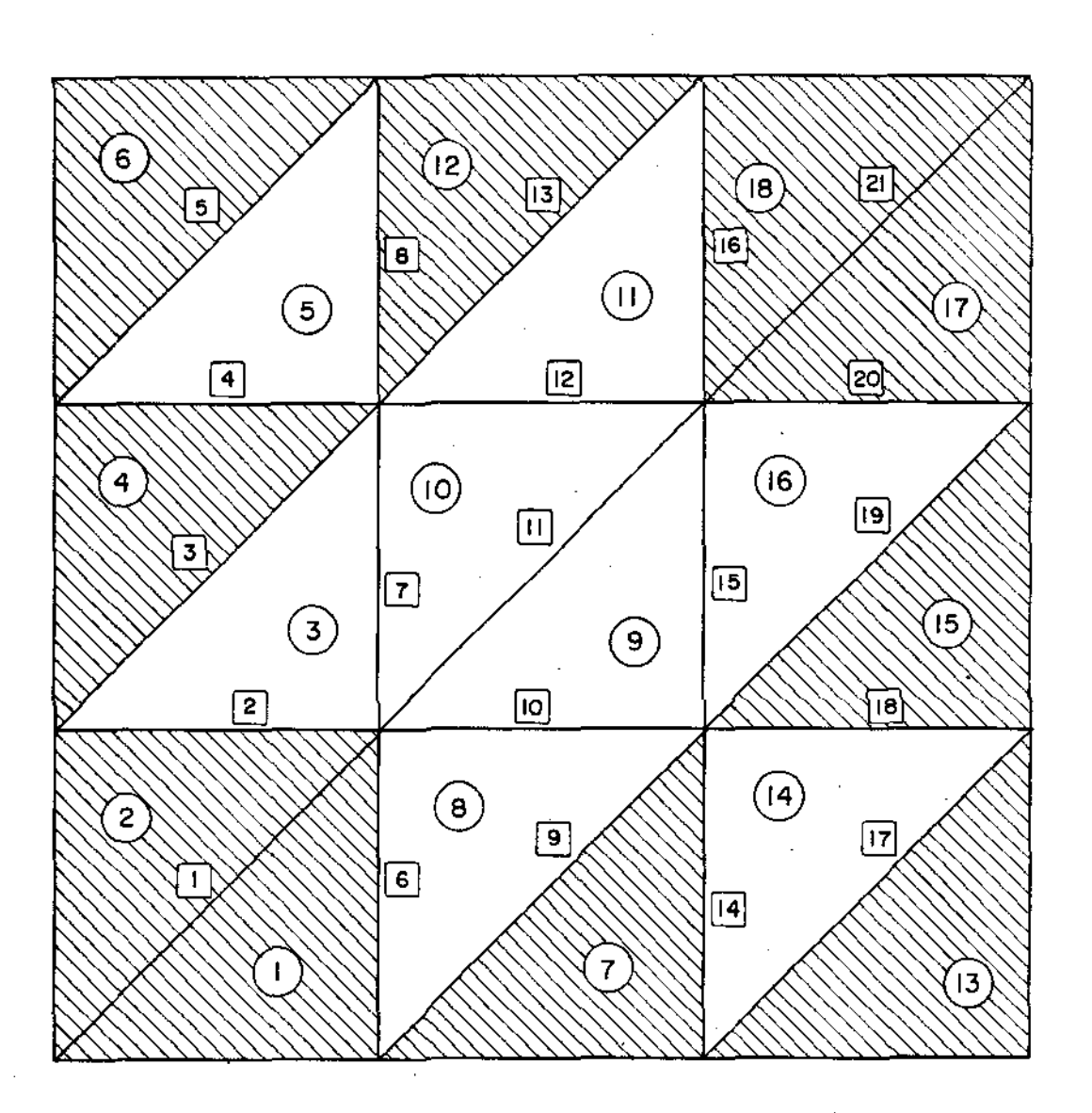


FIGURA 4

```
TY FORZO.DAT
0.0,0.0,0.33333333,0.0,0.3337333,0.3333333
02621
0.23333370.3333333370.0,0,33333370.0,0,0,0
2001
2,7,3
0.3333333,0.666666690.0.0.6666665.0.0.0.0.33337333
4,0,3
0.0,0,6666666,0.3333333,0.666666,0.3333333,1.0
4,8,5
0.333333371.0,0,0,1.0,0,0,0,5666666
0,0,5
0.3333333.0.0.0.66666690.0.0.0.6666666.0.33333333
0 = 14 = 9
0.666666690.3333333390.333333390.3333333390.33333337
10,6,9
0.33333370.33333333370.6666666.00.33333337.0.666666.00.66666.00.66666666
10:15:11
0.6666666,0.6666666,0.3333333,0.6666666,0.73333333,0.333333
12,7,11
0.333333390.666666670.666666690.6666669.0.6666669.0.666666
12,16,13
0.6666661.00,3333333,1.00,0.3333333,0.6666666
0,8,13
Q.666666690.0v1.0v0.0v1.0v0.0v0.3333333
0,0,17
1.0,0,3333333,0,66666666,0,3333333,0,6666666,0,0
18,14,17
0.6666666,0.333333331.0.0.333333331.0.0.6666666
18,0,19
1.0,0.666666690.666666690.666666690.666666690.33333333
20,15,19
0.666666690.6666666691.0 90.666666691.091.0
20,0,21
1.0,1.0,0.0.6666666.1.0,0.0.66666666.0.6666666
0,16,21
```

TY FOR21.DAT

ELEMENTO	SOLUCAD DO PROBLEMA
1.	0.000000E+00
2.	0.0000000000000000000000000000000000000
3	0.2514854E-01
4	0.000000E+00
5	0.20576106-01
6	0+0000000E+00
7	0.0000000E+00
8	0.2514860E-01
9	0.2972078E-01
1.0	0.2972080E-01
1.1.	0.2514833E-01
12	0.0000000E+00
13	0.000000E+00
1.4	0.2057609E-01
1.5	0.0000000E+00
16	0.2514833E-01
17	0.0000000E+00
18	0.0000000E+00

ELEMENTO

0.0000000E+00 0.0000000E+00 0.0000000E+00 0.0000000E+00

ELEMENTO 2

0.0000000E+00 0.00000000E+00 0.0000000E+00 0.00000000E+00

ELEMENTO

-0.9053498 -1.810700

4.074073

4.074074

ELEMENTO 4		·	·
		0.0000000E+00	Α ΑΛΑΛΑΑΝΈΙΑΑ
0.0000000ETQ0	0.0000000E+00	0.0000000000000000000000000000000000000	41
ELEMENTO 5	4.		
-0.7407402	-2.592592	· 3.333335	3.533332
ELEMENTO 6			
0.0000000E+00	0.0000000E400	0.0000000000000000000000000000000000000	0.0000000E+00
ELEMENTO 7			
0.0000000E+00		0.0000000E+00	0.0000000E+00
ELEMENTO 8			
		4.074076	4.074072
-1.810700	-0.9053495	44074078	~
ELEMENTO 9			
-2.674896	-2.139918	4.814814	4.814816
ELEMENTO 10			
-2.139918	-2.674898	4.814815	4.814815
		•	
ELEMENTO 11			
-2.263376	-3.168724	4.074077	4.074072
ELEMENTO 12			
	. ስስስስስስስ መቆስባ	0.0000000E+00	0.0000000E+00
A A A A A A A A A A A A A A A A A A A			- e v v v v v v v v v v v v v v v v v v
part 1900 \$ 2 900 \$ 1 000 200.		•	
ELEMENTO 13			
0.0000000E+00	0.0000000E400	0.0000000E+00	0.0000000E+00

ELEMENTO 14

-2.592592 -0.7407401 3.333333

3.333334

ELEMENTO 15

0.0000000E+00 0.0000000E+00 0.0000000E+00 0.0000000E+00

42

ELEMENTO 16

-3.168724 -2.263375 4.074072 4.074077

ELEMENTO 17

0.0000000E+00 0.0000000E+00 0.0000000E+00 0.0000000E+00

ELEMENTO 18

0.0000000E+00 0.0000000E+00 0.0000000E+00 0.0000000E+00

Seja $\Omega = [0,1] \times [0,1]$ e consideremos uma triangulariza ção do dominio formada por 50 elementos. Dada a simetria do problema (4.1), obtivemos alguns resultados que estão descritos abaixo e na figura 5, utilizando o "Programa elementos finitos mistos" apresentado neste capítulo.

Equipotenciais

- 1) 0.6143000 E-2
- 2) 0.5355000 E-2
- 3) 0.4492750 E-2
- 4) 0.3912500 E-2
- 5) 0.2617500 E-2
- 6) 0.8197350 E-3

Convêm ressaltar que nos resultados obtidos acima para o problema (4.1), todos os valores numéricos devem ser multiplicados por μ μ J que é um dado do problema.

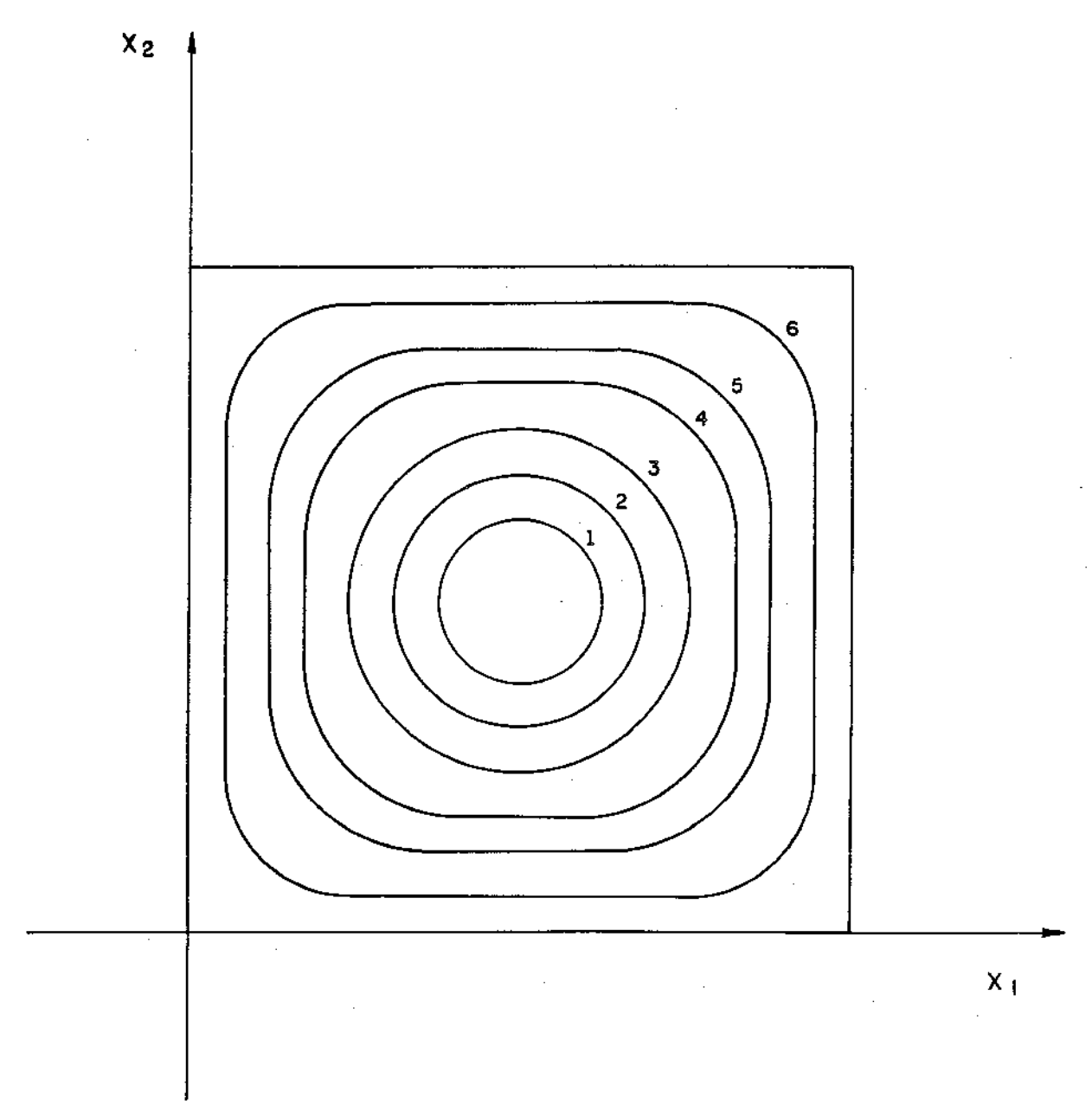


FIGURA 5

4.3. APLICAÇÃO DOS MÉTODOS MISTOS A PROBLEMAS NÃO LINEARES

Na seção 4.1 apresentamos um problema elítico de $2^{\frac{a}{2}}$ ordem linear. De modo geral, o problema (4.1) aparece sob a seguin te forma

$$\frac{\partial}{\partial x} \left(v \frac{\partial A}{\partial x} \right) + \frac{\partial}{\partial y} \left(v \frac{\partial A}{\partial y} \right) = -J \tag{4.3}$$

onde A satisfaz determinadas condições de fronteira e v é uma função denominada "reluctividade". Analisando mais detalhadamente a função "reluctividade" v, duas situações podem ocorrer:

- (i) Sendo v = v(x,y), isto é, v é uma função da posição, temos um problema linear cuja formulação variacional é do tipo da formulação mista descrita em [1]. Nesta situação se enquadram alguns modelos de problemas em eletromagnetismo, de acordo com a literatura especializada;
- (ii) Para v = v(x,y,A), temos um problema não linear. Para aplicarmos o método misto, devemos considerar uma formulação mista apropriada que leve em consideração a não linearidade do problema. Na literatura especializada encontram-se vários problemas de eletromagnetismo que se enquadram nesta situação (vide, por exemplo, [5] e [22]). Além dos problemas em

eletromagnetismo, os métodos mistos tem sido aplicados na solução numérica de inúmeros problemas não lineares, (vide [6]: equações de von Karmann, planos elastoplásticos, problemas não lineares do tipo monótono, dentre outros, bem como Zago (vide [28]). Dado o crescente emprego dos métodos mistos para solução numérica de problemas deste tipo, justifica-se um estudo mais aprofundado destes métodos, tanto sobo ponto de vista matemático como sobo aspecto computacio—nal.

CAPÍTULO V

CONCLUSÕES E COMENTÁRIOS

Tem sido demonstrado em aplicações práticas, que uma maneira eficiente para resolver numericamente problemas de valor de contorno, em equações diferenciais parciais, consiste na aplicação do método dos elementos finitos. Para problemas elíticos, tal método baseia-se num princípio variacional conhecido na teoria da elasticidade como princípio da energia potencial. Nesta abordagem temos os métodos de deslocamento que são a base para a obtenção de resultados numéricos em problemas de engenharia.

Outros princípios variacionais têm sido usados, nos últimos anos, na construção de soluções aproximadas pelo método dos elementos finitos, para problemas de valor de contorno elíticos. Citamos, por exemplo, os métodos de equilíbrio que estão associa dos ao princípio da energia complementar e os métodos mistos, que estão relacionados com o princípio de Hellinger-Reissner. Os métodos mistos têm demonstrado uma precisão superior aos métodos de deslocamento quando aplicados a uma triangularização semelhante. Entretanto, estes métodos apresentam problemas de mal condiciona mento devido a termos nulos na diagonal da matriz do sistema (3.1); outra desvantagem do método misto é o elevado custo computacional, dado o crescente número de variáveis necessárias à

determinação de soluções aproximadas.

De fato, na avalíação da memória utilizada na solução do problema (4.1) usando o método misto e a técnica descrita no capítulo III (justificada matematicamente por D. N. Arnold e F. Brezzi [1]), obtemos os seguintes resultados:

Número de elementos(N)	Método de deslocamento	Método misto	Técnica do capitulo III
18	22,666N	162,666N	379,366N
32	27,000N	157,560N	389,750N
50	32,880N	154,560N	395,980N
128	54,500N	151,000N	397,625N
200	79,320N	147,090N	376,760N

Observando os dados acima, podemos considerar um comporta mento linear da memória usada no método misto e na técnica descrita no capítulo III, com relação ao número de elementos da tria angularização do dominio. Assim, sendo M a memória, N o número de elementos e ajustando os dados da tabela por quadrados mínimos, temos:

i) Técnica descrita no capítulo III

$$M = 379,031N + 623,977$$

ii) Método Misto

$$M = 154,081N + 384,248$$

Os dados descritos acima estão representados graficamente na figura 6.

Numa análise destes dados podemos concluir que o custo diferencial (diferença de memória entre a técnica descrita no capítulo III e o método misto) se amplia quando aumentamos o número de elementos. Podemos então sugerir algumas alternativas:

- 1. Sendo a matriz do sistema (3.1) associado o método misto não singular é recomendável usar os espaços de Raviart-Thomas sem a necessidade da técnica do capítulo III. O método misto se justificaria pelo ganho na precisão dos resultados com relação ao método de deslocamento. A melhoria na precisão tem sido verificada em problemas práticos conforme Zienkiewicz, Vilotte e Toyoshima [27].
- 2. Para sistemas indeterminados existem outras técnicas de implementação que contornam esta dificuldade e apresentam custos (em termos de memória) inferior inclusive ao método misto.Por exemplo, o método iterativo global apresentado por Zienkiewicz, Vilotte e Toyoshima [27]) tem custo equivalente ao método de deslocamento (tradicional método dos elemento finitos).Convém

observar que embora vários exemplos tenham sido apresentados, não é de nosso conhecimento uma justificativa matemática da convergência desta técnica [27].

3. Finalmente quando os multiplicadores de Lagrange introduzidos na técnica do capítulo III apresentarem significado físico relevante, justifica-se a sua utilização apesar do elevado custo de memória relativamente à outras técnicas. De fato, desta maneira calculamos σ, λ e μ (vide (3.3) e (3.4)), onde os multiplicadores de Lagrange λ admitem frequentemente uma interpretação física, como por exemplo, um campo de deslocamento (vide [9]).

Seria importante uma comparação do tempo de execução dos programas associados aos métodos em estudo. Entretanto, como o sistema DEC-10 trabalha em tempo compartilhado, não é possível tal comparação.

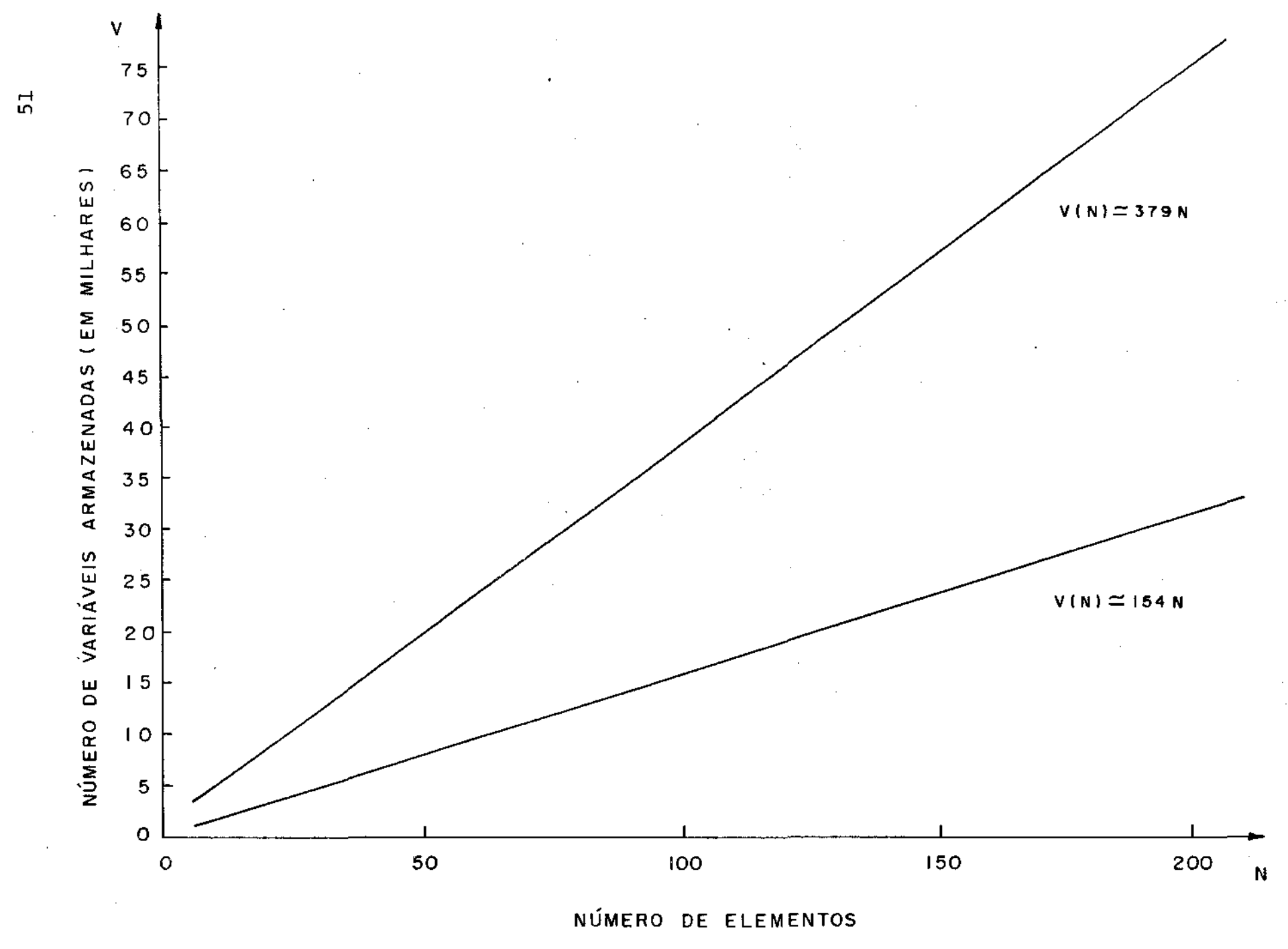


FIGURA 6

APÊNDICE

Apresentamos a listagem de um programa em FORTRAN IV que implementa um método misto aplicado ao problema (4.1), possuindo a estrutura (vide figura 3) descrita no capítulo IV, nas próximas páginas.

```
$ €
23
3 ु
4.)
5 :
59
```

```
Ulaps Jagy 871 141
         pIsandida In(72,21)
         nrwrweing readwigan, erventaal voreafaal
hrwrweing rutto (3a) bryentaal voreafaal
         Diasasioa Phony((-,i...)
         DIMER : 30 345 (07, 37)
         维尼瓦尔 医毛多
         KELL3=72
         անական հաշ Հ է
         さんし カニラブ
         ry(MELL 1).
         DJ 30 I±1,7365M
         £M(I)=0.0
         03 29 3=1,3
         64(1.J.1)=7.0
         Ug 10 K=1, 4
         AM(I, J, K)=2.0
         CONTROL UL
         CORPEOUS
         CJaT1105
         UJ SA IST KENNA
         03 30 3=€ 4688°
         Cuarinos.
         CANTIBUL
         ۽ ۽ بال
         ud too kb≃t, chino
         MEAD(20,00) 32(1),00(2),73(2),00(2),36(3),00(3)
         តបកកក្នុងឲ្យ
         CABL CATYON CO OD KE 1277
         READ (20, 70) Tolveilling (Russ). In (Russ)
         Fuk. 3p(39)
70
         CABL CHIALO(CH, CC, BB, ID, CHESH, LHESH, KHESH, JE, KE)
         մև≃մև+դ
         CAUG ERLADDEFT, CE, DE, FE, TOGGT)
CAUG ZIOVLE (27, ACO, AG, NO SON)
         COMPIERLY
100
         CALL SISTON (ATARBARCHAS STANDER CALCERGARMEGEMARREDM)
REABCRAINED (1911)
150
         ぎ山田門語 Ergistug
         READ(10) 12 ) (*1810(1), I=1, NEUSM)
*ORBANICIAU
100
         od 170 Jesoskan+1. Ugagh
         18944(1)#1
         9****(P)0"Y14
         Edilly #3.3
17:
         CJarinus
         CABB GRADOR(DIDT ET KOIST IFFRA)
CABB RECOVE(TIT, ET, DM, RETOV, KOIST, 4, BEM, KIGSM, BEBEN)
         ន់ហ្ម
         £ 40
```

uiaumbiu# 14(16,4,4),CC(3),DU(3)

018g801Dk 48(18, 2, 1)

```
ulagholum as (scups, 4,4), cc(3), pu(3)
A MATRIZ RICCLEM, 4,4) E FURMADA PUR BUJCUS 1/4 MA
DIAGERAS PRICCIPAS
Dar=803((Ca(3)+Ca(2))*(D3(1)+00(2))*(D2(3)=D0(2))*(Ca(1)+Ca(2)))
ARER=(108((30(2),200(1))≥(10)(3),200(2))))/2,
Africa Strate (i)
 8500(1)400(2)
E=30(2)
 U=U0(3)-Da(2)
 D=00(1)*01(Z)
 どキロり(2)
 Adinb. 1. 1 ) where A
 a4(Kb, 1, 2) = 0.
AH(KL, 1, 3) = L = Pa((5/2,+8)+(1-3-8)/2,+(-4+8/2,)/3.)
 Attention 1, 4, 77, 10
AMERICAL STEAMERS, SEAD
54(N6,2,2) = 1821
A = ( × 6, 2, 3) = ...
AMIRD, 2, 45 407 (6/2.+8)+(C-0-8)/2.+(-C+0/2.)/3.)
Amend, 3, 2) = 1 (150, 1, 2)
Amend, 3, 2) = 2 (170, 4, 3)
AN(NE, 3, 3) = (m(3e)) = (Bed) /3.4 (A+) /3.4 (A+) + (A+) 
A4(KE, 3, 3) = 1, (KE, 3, 3)+(-(n+0)+1, -0+2 -1, -0+2 +1 +2 +1 +2 +1 +2 +1 +2 +1 +2 +1 +2 +1 +2 +1 +2 +1 +2 +1 +2 +1 +2 +1 +2 +1 +2 +1 +2 +1 +2 +1 +2 +1 +2 +1 +2 +1 +2 +1 +2 +1 +2 +1 +2 +1 +2 +1 +2 +1 +2 +1 +2 +1 +2 +1 +2 +1 +2 +1 +2 +1 +2 +1 +2 +1 +2 +1 +2 +1 +2 +1 +2 +1 +2 +1 +2 +1 +2 +1 +2 +1 +2 +1 +2 +1 +2 +1 +2 +1 +2 +1 +2 +1 +2 +1 +2 +1 +2 +1 +2 +1 +2 +1 +2 +1 +2 +1 +2 +1 +2 +1 +2 +1 +2 +1 +2 +1 +2 +1 +2 +1 +2 +1 +2 +1 +2 +1 +2 +1 +2 +1 +2 +1 +2 +1 +2 +1 +2 +1 +2 +1 +2 +1 +2 +1 +2 +1 +2 +1 +2 +1 +2 +1 +2 +1 +2 +1 +2 +1 +2 +1 +2 +1 +2 +1 +2 +1 +2 +1 +2 +1 +2 +1 +2 +1 +2 +1 +2 +1 +2 +1 +2 +1 +2 +1 +2 +1 +2 +1 +2 +1 +2 +1 +2 +1 +2 +1 +2 +1 +2 +1 +2 +1 +2 +1 +2 +1 +2 +1 +2 +1 +2 +1 +2 +1 +2 +1 +2 +1 +2 +1 +2 +1 +2 +1 +2 +1 +2 +1 +2 +1 +2 +1 +2 +1 +2 +1 +2 +1 +2 +1 +2 +1 +2 +1 +2 +1 +2 +1 +2 +1 +2 +1 +2 +1 +2 +1 +2 +1 +2 +1 +2 +1 +2 +1 +2 +1 +2 +1 +2 +1 +2 +1 +2 +1 +2 +1 +2 +1 +2 +1 +2 +1 +2 +1 +2 +1 +2 +1 +2 +1 +2 +1 +2 +1 +2 +1 +2 +1 +2 +1 +2 +1 +2 +1 +2 +1 +2 +1 +2 +1 +2 +1 +2 +1 +2 +1 +2 +1 +2 +1 +2 +1 +2 +1 +2 +1 +2 +1 +2 +1 +2 +1 +2 +1 +2 +1 +2 +1 +2 +1 +2 +1 +2 +1 +2 +1 +2 +1 +2 +1 +2 +1 +2 +1 +2 +1 +2 +1 +2 +1 +2 +1 +2 +1 +2 +1 +2 +1 +2 +1 +2 +1 +2 +1 +2 +1 +2 +1 +2 +1 +2 +1 +2 +1 +2 +1 +2 +1 +2 +1 +2 +1 +2 +1 +2 +1 +2 +1 +2 +1 +2 +1 +2 +1 +2 +1 +2 +1 +2 +1 +2 +1 +2 +1 +2 +1 +2 +1 +2 +1 +2 +1 +2 +1 +2 +1 +2 +1 +2 +1 +2 +1 +2 +1 +2 +1 +2 +1 +2 +1 +2 +1 +2 +1 +2 +1 +2 +1 +2 +1 +2 +1 +2 +1 +2 +1 +2 +1 +2 +1 +2 +1 +2 +1 +2 +1 +2 +1 +2 +1 +2 +1 +2 +1 +2 +1 +2 +1 +2 +1 +2 +1 +2 +1 +2 +1 +2 +1 +2 +1 +2 +1 +2 +1 +2 +1 +2 +1 +2 +1 +2 +1 +2 +1 +2 +1 +2 +1 +2 +1 +2 +1 +2 +1 +2 +1 +2 +1 +2 +1 +2 +1 +2 +1 +2 +1 +2 +1 +2 +1 +2 +1 +2 +1 +2 +1 +2 +1 +2 +1 +2 +1 +2 +1 +2 +1 +2 +1 +2 +1 +2 +1 +2 +1 +2 +1 +2 +1 +2 +1 +2 +1 +2 +1 +2 +1 +2 +1 +2 +1 +2 +1 +2 +1 +2 +1 +2 +1 +2 +1 +2 +1 +2 +1 +2 +1 +2 +1 +2 +1 +2 +1 +2 +1 +2 +1 +2 +1 +2 +1 +2 +1 +2 +1 +2 +1 +2 +1 +2 +1 +2 +1 +2 +1 +2 +1 +2 +1 +2 +1 +2 +1 +2 +1 +2 +1 +2 +1 +2 +1 +2 +1 +2 +1 +2 +1 +2 +1 +2 +1 +2 +1 +2 +1 +2 +1 +2 +1 +2 +1 +2 +1 +2 +1 +2 +1 +2 +1 +2 +1 +2 +1 +2 
 A4(Nb, 3, 3) 41.7(Nb, 3, 3)+(( 143)/3,+3+3+4484)
An(x6,3,3)=083, 80 4(Ku,3,3)
A4(KL, +, 2) *10 (Kb, 2, c)
AMONE 4 45 4276 KD, Q, T)+(( 127)/3, 40 48 48 48 48)
 AMINU TAY TORPHER (KU, 4, 4)
 REPUBR
```

SUCCEDENCE AND AND CANADOLATED AND ACCORDED ACCORDED AND ACCORDED ACCORDED AND ACCORDED ACCORDED AND ACCORDED A

೬೦೮

SUBKOUTIEL BY IXEC(Bd.CC.DU.EL.NEEGA)
UIMENSION BECABLUT.4.1).CC(3).DO(3)

M MATRID BY (SCEEP, 4, 1) E FORMADA POR HEUCUS 4X1.

axus=(202(fCC(2)-CC(1))*(00(3)-00(2))))/2.

Ex(fb,1,1)=0.0

Ex(fb,3,1)=0.0

Ex(fb,3,1)=-(000)

Ex(fb,3,1)=-(000)

Ex(fb,4,1)=-(000)

Ex(fb,4,1)=-(

```
SUCKDOTING CRIXER (CH. CC. HI. ID. NEGEM, GRUEM, KELEM, JE. KH)
        01x980198 38(x3r04,per64),00(3),00(3)
        Interest the confident
        ប៊ុំ 100 ភូ≖ា,≥
        1F (19(65,6).64.0) 48 pJ 180
        4=10(%6,5)
        18 (h. 40.1) 60 To 20
        18(8,80,3) Go Go 30
        ¥AK≅6_<u>~</u>
1
        VAR=(30(2)_00((:))+(00(2)_00(1))+(00(2)+00(1))+(00(2)+00(1))
        VAR=SURI(VAR)
        K=(00(2)_00(1))/Ye8
        せましじじじょり…しじじょりカッドに吊
        CM(JD_B)=(*(CC(2),200(j))
        i4(db,1,1)=00(Ci(3)-CC(1))
        UM(36,2,6)=8er(30(2)p30(3)-33(1)+33(1))/2e)
        C4(JL+3,6)=5808(1)*(GJ(4)=GJ(3))
        63 TO 134
        业务营业的
25
        VAR=($T(3)_10(2))*(TC(3)_CC(2))+(YO(3)_DD(2))*(DD(3)+DD(2))
        VAR#SQRI(YAL)
        AE(00(33_00(2)), VAR
        B#(CC(2)_CCC(3))//AP
        c*(JE, D) = (G((3) _ b)())
        նԿլմ£ֆ1,∆յ≖ոտ(Դելմ)տ0ն(տոյ)
        C4(36+2,6)=0430(7)*(80(3)*)20(7))
        QM(dti43, h) =0, ((00°(3), 600(3), −00(2), ×03(2))/2.)
        65 TO 153
        ¥ AR#6
33
        VAK=(ČČ(;)_JC(3))+(JC(;)_JC(3))+(DJ(1)_DD(3))+(JJ(JJ)+DD(3))
        ViK_SUKI(Vin)
        8=(00(1)=50(3))/V.R
        8=(85(3)-53(3))/VAR
        Ch(J6,5)=A*(CC(1)+CJ(3))
        CM(db41,6)=60(Cc(4)-CC(4))
        ບຸສຄູປມູມຂູ້ເພິ່ງ=Axຄູ້ເຕດີດູຊ໌ງສູ້ນີ່ຕໍ່ດູ້ເກິ່ວວາສາສຸດລະປູສາງງ/2.ງ
```

eno Setaba Comitabi

```
SUEROUTING FMIXED(FM,CC,OU, NG, NELGA)
DIMENSION EN(ASPERS).CC(3).DD(3)
a=00(3)~00(2)
8#CC(1)-CC(2)
E=CC(2)
8=00(4)-85(4)
D#00(1)#00(2)
t = 0 (1 (2)
YAK#0_0
DEC=ABB(ABB_C*E)
ΑΝΕΝΦ(ΝΟΘ(Δεθ))/?.
ΕΝ(ΝΕ)Φ(ΝΕΔ)Φ(Νεθ)/3. + Νεθ)/Α. + (ΝελφθεΝωΣεΛεθωνοκόεΕψθεθ)/Δ.
ΕΝ(ΝΕΔ)ΦΓΝ(ΝΕΔ)+(Φ(Θεθ)+λεν+λελφεωνδεδεθωσεώ)/Δ.+((Θεθ)/Δ.+ανωνονο)
FM(KL)==2,0284(KL)#0EI
¥ลหิ≠ฮา์(เป้า
FM(KD)=(_(C#C)_(D#D)/3_+C#D)/4_+(C#C+D#D=2_#C#D=2_#C#F+O#F)/5
FM(KD)=FM(Ku)+f+(D#D)+C# '+2.#C#F=Z.D#F=F#F)/Z.+((D#D)/3.+J.c+F#F)
ຮາ(ຄວງ=6າ(ໄພ)ເພື່ອໃຂ(•2.0)
VAR=VLB+FBFKL,
V4(Kb)#2_j#35f*((6/2_+5)+(8.8.6)/2_+(mA+8/2_)/3_)
VAR=VIRIFF(KL)
FM(KL)=1 gedEle((0/2.48).(CaD.8)/2.4(LC40/2.)/3.)
VAR=VAR4FM(KL)
图图(天涯) #蒙海縣
FM(KL)=_F=(KL)
KETURN
C NO
```



```
SUBROUTIAL RENVER(AM, DIT, KL, NEDRM)
DIMENSION AM(MEDER, 4, 4)
D140,00113 A101386,000,000
Usig1#(50(, 6,1,1,1) #04(,2,1,4) #64(,6,1,3,3) #64(,2,1,4,4))
DELI=DELI-(44(84,1,1)*A4(84,2,4)*A4(84,2,4)*A4(84,2,4)*A4(84,3,3))
UBR1=35014 (5-(60, 1, 3) whichb, 1, 3) +65(KL, 6, 5) +67(Kb, 2, 4))
USE 1 = 0 & E 1 _ (Km ( NL , 1 , 2 ) + 4 ( KL , 1 , 3 ) + 4 ( KL , 1 , 2 ) + 4 " ( NL , 4 , 4 ) )
***(**,;,;)*(**(**,2,2)* (*(**,3,3)* (*(*),2,2))
MingEl, I, Lymblackly I, Ly/ Dulli
ALM ( No. 2, 1) =0.5
Alm(Ku, 1, 2)=".
Alminu, S, t) = ( Ame Mu, 1, 3) x Ame ( No, 2, 4) x Ame ( No, 2, 4) ;
Ain(Ku,3,1)="la(Ku,5,1)/mT1
ALM(Ku, 1, 3) = "18(KE, 3, 1)
ALMORDA TALL
Alberth, 1, 2, # 2, 0
Alm(Ku, 2, 2) = Ali(Kb, 2, 2) = p AB(Kb, 1, 1) = AB(Kb, 1, 1) x AB(Kb, +, +))
Ala(Ri,2,2)=Ala(Ri,2,2)/95Tl
ALW(84,3,2)=0.0
A1N(Ku, 2, 3) = 3.2
AINEKO, 1, 2, mendeko, 1, 3, 4 /4(Kb, 1, 3) 4/4(Kb, 2, 5))
AIN(KU, 1, N)=113(KU, 1, N)=(NM(KU, 1, 1) + AM(KU, 2, 0) + NM(KU, 3, 0))
ሕልኩ/Ku, 4, 2, #Åደክ/Ku, 4, 2,/1681
ALA(FL, 2, 2) = 327 (84, 9, 2)
AI = \{K_0, 3, 3\} = \{C_0, C_0, 1, 1, 1\} \in M(K_0, 2, 2) \in M(K_0, 4, 4)\}
տոնալԲև, մ, մյ≖ծննլծն, մ, մյ/∂նՄե
Alm (Fo 4 3) #3.0
Kinghib, J. aj= 1.0
Ala(Ku, 4, 5)=(14(NL, 1, 1) = 14(Kb, 2, 2) = 14(Kb, 3, 3))
Αιμέκυ, τ, ε, = λευέκυ, τ, ε, ε, ως αθς κυ, λ, έ, ελθς κω, 1, 3, εδες κυ, 1, ε, )
Alvers, the continues of the theory
RELIES
C. N. D
```

```
SUBHOUTING SISTEM (AIR, BM, CM, SIST, WEDEM, LELEM, MOLEM, KELEM)
                                     Dimension air (Nebum, 4, 4), by (Meber, 4, 1), CA(Kebem, bebem)
                                     មុនអត្តស្នាប់ និងក្រុម ស្រុកស្នាស់ ស្រុកស្នាប់ ស្រាកស្នាប់ ស្រាកស្នាប្រសាសស្នាប្រសព្ធិស្រាកស្នាប់ ស្រាកស្នាប់ ស្រាកស្នាប់ ស្រាកស្នាស្តាស្រាកស្នាប់ ស្រ
                                     Discholan GUX(18, 4, 1), B 17(18, 1, 4), gUX1(18, 1, 4), gUX2(72, 21)
                                     ا±ان≓1
                                     DJ 2 KD=1, ELLS
                                     COMSTRUCTO DO PRIMEIRO SOUCO
                                     0J 5 1=1,4
                                     Ayk=0*n
                                     e,j=t ε Cu
                                     VAREVAR,ALM(KD,I,J)×8M(KS,J,I).
                                     CONTINUL
3
                                     SAX(Kr'T'I)=Ash
                                     CUNTIBUL
5
                                     VARRA . 9
                                    00 10 1=1.1
                                     our(ki,1,1)#84(ki,1,1)
                                     VAREVAR, BMI(RE, 1, I) ABX(RE, I, I)
                                     CONTINUE
10
                                     SIST(Ki,Ki)=VAR
C
C
                                     CUNSTRUCAU DO SEGRADO BLOCO
                                     00 30 I=1,4
                                     VARAG_0
                                    UU 25 J=1,4
VAR=VAR4867(RD,1,J)x lim(KD,J,I)
                                     CUNTIGBE
2.3
                                     AUALICKE, 1, I) = VAR
                                     CONTINUS
30
                                     ⊎J 59 I≕1,5%%%⊀
```

g Ag #9 . ? (1,dUt))*C*(1,1,1)*C*(tUL,1) VAK=VAR, 40 K1 (K6, 8, 2) 40% (836+1, 1) VAR-VARAGOK, (KL,,,) +CH((JUbaz,)) A^MH=A^WH+^MAXI(KPYI) 41#AW((AP+3)I) Sisy(IfuBushike)=var CUNTIBUE

COUPE (GIBCART DO BACOBIE) BLOCH

5 .

C

```
UO 70 1=1,60558
аук≃б"Э
VAR=VAR+314(84,1,1)*CM(130,1)
VEK=VARIAIN(Kb, 1, 2) + Cn(1 Jb+1, 1)
VAR=VAR, A14(RG, 1, 3), CM(136, 2, 1)
VAR=VAR, A14(RG, 1, 4), CM(136, 3, 1)
AUXZ(KL, I) = YAH
VAREA
VAK=VA4,817(Kb,2,1)*C4(ITA,1)
VAR=VAR+ (17(81, 2, 2) aC(1)241, 1)
VAH=V3A4218(Kb,2,3) aCM(18042,1)
VRS=VAP, 314(FU, 2, 31xC*(1)U+3, 1)
AJX2(KD+1, I)=KYY
VARAVAR, %10(KL,3,4)*CM(110,1)
VARAVAR, %10(KL,3,4)*CM(110,1)
VAK=VAK401 ([N b 3 2 ) 800(1 (141 1 1 1)
```

```
VAR=VAR+ALa(Fb, 3, 3) *Ca(116+2, 1)
         WAR=VAR+AIM(KL, J, A) *CM(LJA+J, 1)
         MUX2(KG+2, 1)=VAK
         VAR=VAR, AIN(KĎ, 4, 1) *CN(LJU, L)
         VAK=Vie+51%(66, 4, 2) *C%(1344), 1)
         VAR=V18,420(86,4,3) 40"(114,2,1)
         VAR=V88+118(FU, 4, 5)+C8(13U+3, 1)
AUX2(KL+3, 1)=VAR
         CJARINUG
70
         03 50g I∓1,6%65™
         03 580 J=1,45468
         VAR#6_3
         BU 575 K=1 KKLEM
         VAR=VAR+CO(K), L) + CUXZ(K, J)
         COMPINUE
575
         SISE(I + WEDGE O + WEDGE) = VER
         CONFINUE
59g
         CONTINUL
510
         136=136+4
         CONTINUÉ
         RETURN
         END
```

2 + 6 C C

5

1)

20

25

CC

30

42

* Janaz () }

ემ 36 **ქლ1.**მეხლე

valia # (1) (1) (1) (1) (1) (1) (1)

```
SUBFOUTIAN GRADCO(SIST, F4, XDISP, IF?PR)
U1428SION SIST(39,39), FM(39), XDISP(39)
BIMEMUIDA-RN()3), PM(23), PM(23), IFPR. (39)
President Stream
rub=0.0001
きゅしょ ニニミナ
めとしたちゃんり
ESTA SUBHOTION HABBLYS I SINTEMA AKAM PEND ANTONO DUS
GREDITALES COMPAGNATE
REFIREDO AS DINDAS & CULUMAS PRESCRITAS
Kblad
DU 200 KER1, MELER
18(18884(FP) FB 11 70 TO 700
KLJ=0
KLI=KLI+1
FM(KLL)=FM(KL)
0J 150 J=1, Mt 66%
if(iffedo(d).ou.l) GD TO 150
KujaKuj<sub>+1</sub>
AMI(KLI, KuJ) = 010 (Ku, J)
CHATZERS
CJatifbe
ESPAGIO INTOTAL KEG
ENTRADA DO CHUFE, INICIAL
09 5 I=1, J&LSM
XDISP(1)=0.0
CDATION
K=Q
ស្ស 20 1=1 ជន់ព្រះ។
VAREO.3
UJ 15 J=1 JEEEM
Van=Vin+All(1,J)+AD1SP(J)
CONTINUE
36V_(1)482(1)48
PE(1) #PH(1)
CONTINUE
TYPL 25 K
FURHAL (G)
K ± 1
Passou DEGUINICS...
DJ 40 l=1,JubEM
¥3ನ∓೦್ಕಿಳ
00 30 J=1 JEbe %
VAREVER+ALICE, J) : DY(J)
CONCLUDE
MAXE (i) FU
COMITMES
¥AK⊈∓U_O
VARUE ON K
```

```
UNICEMP
```

```
¥445=¥4562+(D4(1)+06(1))
        COMPTANT
         AUPHEMVIRATORAZ
        ou by Ist, JSEst
        ن ئ
        ರಚಿಸT \Sigma ್ರಿ<math>d_{\Sigma_{i}}
         करम्ड≖३.०
        UU 78 IRI,JELKK
         70
        CUNFI BL
        BERASVARA,
        03 50 1=( J&&&4
PM(I)=d1(1)+(B&f&+PM(I))
        CUNTING
80000
        DSTERMINACAD DA MORMA 2 ON 64(I) H m(I).
         IdSTA OE CHOVERBERGIA
        VARABI. 9
        VARS#0_0
U3 40 I=1 JELUM
        V&K4=VAR4+(BC(I)+65(I))
        ¥&K5#¥&U54(€™(£)%£™(£))
9 t
        COMITMES
        ANT=SUBS(VERS)
        AYZ#SURE(PARS)
        AN 3= Edity Step
         tipe 32, Aus
        Funda I (4)
92
        K=K+1
        IP(ag3.g%.Top) gorg 100
        តិជាព្រះ
        に当り
```

```
看粉彈
                                                                                                                                                                                                                                  NUPLEN
                                                                                                                                                                                                                         PERIINES
                                                                                                                                                                                                                 (तुष्ठ)विष्टुक्षिति
                                                                                                    HARRICALITERS) (SERTOV(RULLALITATION)
                                                                                                                                                                KORVEICTO REPRESENTS OF SERVERS RESERVED REPRESENTED R
                                                                                                                                                                                                                         SPRIINCS
                                                                                                                                                                                                                         TOTILACO
                                                                                                                                                                                 אַרְבָּהָחָתְ(צִר יֹד בּיוֹן) בּאַעוּנּ
                                                                                                                                                                                                                         PRESIDENCE
                                                                                                                          73 18° 3=1° 3
                                                                                                                                                                                                                             ⊎°б=Р∀∧
                                                                                                                                                                                 ng Suc Phal Rebbs
                                                                                                                                                                                                                        VOSIJECT
                                                                                                                                                                                                                     P-TULITURE
                                                                                                                                                                                                                         ROBLIBOR
                                                                                                (1+1+461)15/584(1,1,148)*a=[1,1,148)*a
                                                                                                                                                                                                       # 1=7 (pl co
                                                                                                                                                                                 wafsu'l=0% 661 66
                                                                                                                                                                                                                                       radit
                                                                                                                                                                                                                         PRESIDE
                                                                                                                                                                                                    AMATE(T)LONDH
                                                                                                                                                                                                                         CHAILMED
                                                                                                                          (kadar+C)9810x+(b.+))2+9A+x+
                                                                                                                                                                                          wayso ler de co
                                                                                                                                                                                                                             8 9 + PYA
                                                                                                                                                                                      23937 1€5 (31 ca
                                                                                                                                                                                                                         SOMETHOS
                                                                                                                                                                                                                         MARTILATO
                                                                                                         A+(Kp, L, 1) =+(A4(Kb, L, 1)*(B15P(Kb))
                                                                                                                                                                                      00 10 Imi's
03 50 enmi'egem
                                                                                                                                                                      DIWINSION BENCI(ISA)
                                                                                                                                           ntingerns Yoghs(35)
ntinderna Heggy(McPcM:#15)
         SORFORESTER RECORECTED BATCH FROM ANTES REPER PROPERTY PROPERTY
```

019

007

56 K

034

可算集

Ú to I

001

€.

37

BIBLIOGRAFIA

- ARNOLD, D.N.; BREZZI, F.: A mixed an nonconforming finite element method: implementation, postprocessing and error estimates, in RAIRO Modelisation mathématique et Analyse Numérique, vol. 19, 7-32, 1985.
- [2] BABUŠKA, I.: The finite element method with Lagrangian multipliers, Numer. Math. 20, 179-192, 1973.
- [3] BEZERRA, M.C.C.: Método elemento finito e pós-processa mento: implementação em microcomputadores in Anais do VII CNMAC, 210-214, 1984.
- [4] BINNS, K.J.; LAWRENSON, P.J.: Analysis and Computation of Electric and Magnetic Field Problems, Pergamon.

 Braunchweig, 1973.
- [5] CHARI, M.V.K.; SILVESTER, P.: Analysis of turbo alternator magnetic fields by finite elements, in Trans.

 Inst. Elec. Eletr. Engrs. PAS-90 (454), 1971.
- [6] CIARLET, P.G.: The Finite Element Method for Elliptic Problems, North-Holland, Amsterdam, 1978.

- [7] DOUGLAS, J.; DUPONT, T.; WHEELER, M.F.: An L estimate and a superconvergence result for a Galerkin method for elliptic equations based on tensor products of piecewise polynomials, RAIRO Analyse Numérique R-2, 61-66, 1974.
- [8] EKELAND, I.; TÉMAM, R.: Analyse Convexe et Problèmes Variationnels, Dunod, Paris, 1974.
- [9] FRAEIJS DE VEUBEKE, B.: Displacement and equilibrium models in the finite element method, in Stress Analysis (O.C. Zienkiewicz & G.S. Holister, Editors), pp. 145-197, Wiley, New York, 1965.
- [10] FRÉMOND, M.: Utilization de la dualité en élasticité.

 Compléments sur les energies de Reissner. Equilibre d'une dalle élastique reposant sur un structure stratifiée, Annales de l'Institut Technique
 du Bâtiment et des Travaux Publics, Supplément au
 No. 294, 54-66, 1972.
- [11] GEYMONAT, G.: Introduction to Naive Distribution Theory in Mathematical and Numerical Methods in Fluid Dynamics, Trieste, 1973.

- [12] HINTON, E.; OWEN, D.R.J.: Finite Element Programming, Addison-Wesley, 1984.
- [13] JENNINGS, A.: Matrix Computation for Engineers and Scientists, John-Wiley, 1977.
- [14] KREYSIG, E.: Introductory Functional Analysis with Applications, John Wiley, New York, 1978.
- [15] LUENBERGER, D.G.: Linear and Nonlinear Programming, Addison-Wesley, 1984.
- [16] ODEN, J.T.; REDDY, J.N.: Variational Methods in Theoretîcal Mechanics, Springer-Verlag, Heidelberg, 1976.
- [17] PRENTER, P.M.: Splines and Variational Methods, Wiley, New York, 1975.
- [18] RAVIART, P.A.: On some applications of mixed finite element methods, in Colloque Franco-Brésilien de Méthodes Numériques de l'Ingénieur, Rio de Janeiro, 1976.
- [19] RAVIART, P.A.; THOMAS, J.M.: A mixed finite element method for second order elliptic problems, in

Mathematical Aspects of the Finite Element Method, Lecture Notes in Mathematics 606, Springer-Verlag, Berlin, 1977.

- [20] RUAS, V.: Uma introdução à teoria matemática dos metodos de elementos finitos mistos, Monografia em Ciência da Computação da PUC/RJ, 3/85, Rio de Janeiro, 1985.
- [21] SILVEIRA, D.L.: Introdução ao método dos elementos finitos, Monografia de Qualificação em Matemática Apli
 cada, IMECC-UNICAMP, Campinas, 1985.
- [22] SILVESTER, P.; CHARI, M.V.K.: Finite element solution of saturable magnetic field problems, in Trans. Inst. Elec. Electr. Engrs. PAS-89 (1642), 1970.
- [23] STEWART, G.W.: Introduction to Matrix Computations, Academic Press, New York, 1971.
- [24] THOMAS, J.M.: Méthode des éléments finis équilibres, in Journées Eléments Finis 1975, Université de Rennes, 1975.
- [25] THOMAS, J.M.: Sur l'Analyse Numerique des Méthodes

d'Elements Finis Hybrides et Mixtes, Doctoral Thesis, Université Pierre et Marie Curie, 1977.

- [26] WASHIZU, K.: Variational Methods in Elasticity and Plastic ity, Pergamon, Oxford, 1968.
- [27] ZIENKIEWICZ, O.C.; VILOTTE, J.P.; TOYOSHIMA, S.: Iterative method for constrained and mixed approxima tion. An inexpensive improvement of finite element performance, Computer Methods in Applied Mechanics and Engineering, 51, 3-29, 1985.
- [28] ZAGO, J.V.: Numerical Simulation of the Weissenberg effect, Matemática Aplicada e Computacional, Vol. 3, pp. 3-22, 1984.